

WO 2014/034728 A1

(12) 特許協力条約に基づいて公開された国際出願

(19) 世界知的所有権機関
国際事務局(43) 国際公開日
2014年3月6日(06.03.2014)

(10) 国際公開番号

WO 2014/034728 A1

(51) 国際特許分類:
G02B 15/20 (2006.01) *G03B 5/00* (2006.01)
G02B 13/18 (2006.01)

shi); 〒1008331 東京都千代田区有楽町1丁目12番1号 株式会社ニコン内 Tokyo (JP).

(21) 国際出願番号: PCT/JP2013/073020

(74) 代理人: 井上 義雄, 外(INOUE, Yoshio et al.); 〒1030027 東京都中央区日本橋3丁目1番4号画廊ビル3階 Tokyo (JP).

(22) 国際出願日: 2013年8月28日(28.08.2013)

(81) 指定国(表示のない限り、全ての種類の国内保護が可能): AE, AG, AL, AM, AO, AT, AU, AZ, BA, BB, BG, BH, BN, BR, BW, BY, BZ, CA, CH, CL, CN, CO, CR, CU, CZ, DE, DK, DM, DO, DZ, EC, EE, EG, ES, FI, GB, GD, GE, GH, GM, GT, HN, HR, HU, ID, IL, IN, IS, KE, KG, KN, KP, KR, KZ, LA, LC, LK, LR, LS, LT, LU, LY, MA, MD, ME, MG, MK, MN, MW, MX, MY, MZ, NA, NG, NI, NO, NZ, OM, PA, PE, PG, PH, PL, PT, QA, RO, RS, RU, RW, SA, SC, SD, SE, SG, SK, SL, SM, ST, SV, SY, TH, TJ, TM, TN, TR, TT, TZ, UA, UG, US, UZ, VC, VN, ZA, ZM, ZW.

(25) 国際出願の言語: 日本語

(84) 指定国(表示のない限り、全ての種類の広域保護が可能): ARIPO (BW, GH, GM, KE, LR, LS, MW, MZ, NA, RW, SD, SL, SZ, TZ, UG, ZM, ZW), ユーラシア (AM, AZ, BY, KG, KZ, RU, TJ, TM), ヨーロッパ

(26) 国際公開の言語: 日本語

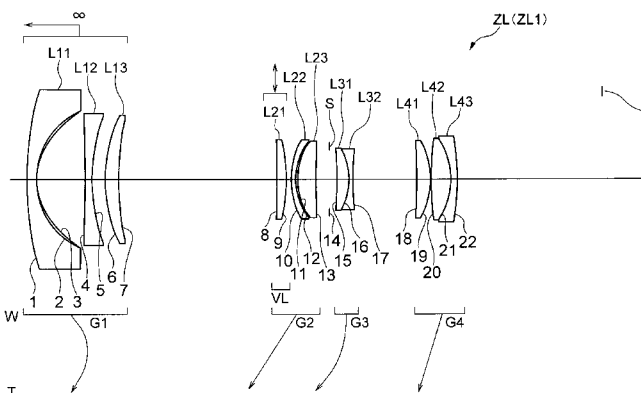
(30) 優先権データ:
特願 2012-189692 2012年8月30日(30.08.2012) JP
特願 2012-189693 2012年8月30日(30.08.2012) JP
特願 2012-189694 2012年8月30日(30.08.2012) JP(71) 出願人: 株式会社ニコン(NIKON CORPORATION)
[JP/JP]; 〒1008331 東京都千代田区有楽町1丁目12番1号 Tokyo (JP).

(72) 発明者: 上原 健(UEHARA, Takeru); 〒1008331 東京都千代田区有楽町1丁目12番1号 株式会社ニコン内 Tokyo (JP). 鈴木 剛司(SUZUKI, Take-

[続葉有]

(54) Title: VARIABLE-MAGNIFICATION OPTICAL SYSTEM, OPTICAL DEVICE HAVING SAME VARIABLE-MAGNIFICATION OPTICAL SYSTEM, AND METHOD FOR MANUFACTURING VARIABLE-MAGNIFICATION OPTICAL SYSTEM

(54) 発明の名称: 変倍光学系、この変倍光学系を有する光学装置、及び、変倍光学系の製造方法



(57) Abstract: By the present invention, it is possible to provide a variable-magnification optical system, an optical device having the optical system, and a method for manufacturing a variable-magnification optical system, the variable-magnification optical system being provided with optical performance whereby fluctuation in aberration during variation of magnification is reduced, and it is possible to respond to fluctuation in aberration during camera shake correction by satisfying predetermined conditions by a configuration in which the variable-magnification optical system has, in order from the object, a first lens group (G1) having a negative refractive power, a second lens group (G2) having a positive refractive power, a third lens group (G3) having a negative refractive power, and a fourth lens group (G4) having a positive refractive power, an interval between the first lens group (G1) and the second lens group (G2) changes, an interval between the second lens group (G2) and the third lens group (G3) changes, and an interval between the third lens group (G3) and the fourth lens group (G4) changes during variation of magnification from a wide-angle-end state to a telephoto-end state, and at least one single lens of the second lens group (G2) is an anti-vibration lens group (VL) for moving so as to include a component in the direction orthogonal to the optical axis.

(57) 要約:

[続葉有]



(AL, AT, BE, BG, CH, CY, CZ, DE, DK, EE, ES, FI, FR, GB, GR, HR, HU, IE, IS, IT, LT, LU, LV, MC, MK, MT, NL, NO, PL, PT, RO, RS, SE, SI, SK, SM, TR), OAPI (BF, BJ, CF, CG, CI, CM, GA, GN, GQ, GW, KM, ML, MR, NE, SN, TD, TG). 添付公開書類:
— 国際調査報告（条約第 21 条(3)）

物体側から順に、負の屈折力を有する第 1 レンズ群 G 1 と、正の屈折力を有する第 2 レンズ群 G 2 と、負の屈折力を有する第 3 レンズ群 G 3 と、正の屈折力を有する第 4 レンズ群 G 4 と、を有し、広角端状態から望遠端状態に変倍する際に、前記第 1 レンズ群 G 1 と前記第 2 レンズ群 G 2 との間隔が変化し、前記第 2 レンズ群 G 2 と前記第 3 レンズ群 G 3 との間隔が変化し、前記第 3 レンズ群 G 3 と前記第 4 レンズ群 G 4 との間隔が変化し、前記第 2 レンズ群 G 2 のうちの少なくとも一枚の単レンズは、光軸と直交する方向の成分を含むように移動する防振レンズ群 V L であり、所定の条件を満足することにより、変倍時における収差変動が小さく、手ぶれ補正時の収差変動に対応可能な光学性能を備えた変倍光学系、この光学系を有する光学装置、及び、変倍光学系の製造方法を提供することができる。

明細書

発明の名称：

変倍光学系、この変倍光学系を有する光学装置、及び、変倍光学系の製造方法

技術分野

[0001] 本発明は、変倍光学系、この変倍光学系を有する光学装置、及び、変倍光学系の製造方法に関する。

背景技術

[0002] 従来、写真用カメラ、電子スチルカメラ、ビデオカメラ等に適した変倍光学系が提案されている（例えば、特開平11-174329号公報を参照。）。

発明の概要

発明が解決しようとする課題

[0003] しかしながら、従来の変倍光学系は、変倍時における収差変動が大きく、また、手ぶれ補正時の収差変動にも対応できていないという課題があった。

[0004] 本発明はこのような課題に鑑みてなされたものであり、変倍時における収差変動が小さく、手ぶれ補正時の収差変動に対応可能な光学性能を備えた変倍光学系、この変倍光学系を有する光学装置、及び、変倍光学系の製造方法を提供することを目的とする。

課題を解決するための手段

[0005] 前記課題を解決するため、本発明の第1態様は、物体側から順に、負の屈折力を有する第1レンズ群と、正の屈折力を有する第2レンズ群と、負の屈折力を有する第3レンズ群と、正の屈折力を有する第4レンズ群と、を有し、広角端状態から望遠端状態に変倍する際に、前記第1レンズ群と前記第2レンズ群との間隔が変化し、前記第2レンズ群と前記第3レンズ群との間隔

が変化し、前記第3レンズ群と前記第4レンズ群との間隔が変化し、
前記第2レンズ群のうちの少なくとも一枚の単レンズは、光軸と直交する
方向の成分を含むように移動する防振レンズ群であり、
次式の条件を満足することを特徴とする変倍光学系を提供する。

$$0.35 < D_3 w / (-f_3) < 0.45$$

但し、

$D_3 w$ ：広角端状態における前記第3レンズ群と前記第4レンズ群との空
気間隔

f_3 ：前記第3レンズ群の焦点距離

[0006] また、本発明の第2態様は、本発明の第1態様に係る変倍光学系を有する
ことを特徴とする光学装置を提供する。

[0007] また、本発明の第3態様は、物体側から順に、
負の屈折力を有する第1レンズ群と、
正の屈折力を有する第2レンズ群と、
負の屈折力を有する第3レンズ群と、
正の屈折力を有する第4レンズ群と、を有し、
広角端状態から望遠端状態に変倍する際に、前記第1レンズ群と前記第2
レンズ群との間隔が変化し、前記第2レンズ群と前記第3レンズ群との間隔
が変化し、前記第3レンズ群と前記第4レンズ群との間隔が変化し、
前記第2レンズ群のうちの少なくとも一枚の単レンズは、光軸と直交する
方向の成分を含むように移動する防振レンズ群であり、

前記第1レンズ群は、最も物体側に第1負レンズを有し、最も像側に正レンズを有し、次式の条件を満足することを特徴とする変倍光学系を提供する
。

$$2.10 < f_{1g} r / (-f_{1g} f) < 3.00$$

但し、

$f_{1g} f$ ：前記第1負レンズの焦点距離

$f_{1g} r$ ：前記正レンズの焦点距離

[0008] また、本発明の第4態様は、本発明の第3態様に係る変倍光学系を有することを特徴とする光学装置を提供する。

[0009] また、本発明の第5態様は、物体側から順に、
負の屈折力を有する第1レンズ群と、
正の屈折力を有する第2レンズ群と、
負の屈折力を有する第3レンズ群と、
正の屈折力を有する第4レンズ群と、を有し、
広角端状態から望遠端状態に変倍する際に、前記第1レンズ群と前記第2レンズ群との間隔が変化し、前記第2レンズ群と前記第3レンズ群との間隔が変化し、前記第3レンズ群と前記第4レンズ群との間隔が変化し、
前記第2レンズ群のうちの少なくとも一枚の単レンズは、光軸と直交する方向の成分を含むように移動する防振レンズ群であり、次式の条件を満足することを特徴とする変倍光学系を提供する。

$$0.81 < f_2 / (-f_3) < 1.00$$

但し、

f_2 ：前記第2レンズ群の焦点距離

f_3 ：前記第3レンズ群の焦点距離

[0010] また、本発明の第6態様は、本発明の第5態様に係る変倍光学系を有することを特徴とする光学装置を提供する。

[0011] また、本発明の第7態様は、物体側から順に、負の屈折力を有する第1レンズ群と、正の屈折力を有する第2レンズ群と、負の屈折力を有する第3レンズ群と、正の屈折力を有する第4レンズ群と、を有する変倍光学系の製造方法であって、

前記第1レンズ群、前記第2レンズ群、前記第3レンズ群及び前記第4レンズ群を、広角端状態から望遠端状態に変倍する際に、前記第1レンズ群と前記第2レンズ群との間隔が変化し、前記第2レンズ群と前記第3レンズ群との間隔が変化し、前記第3レンズ群と前記第4レンズ群との間隔が変化するように配置し、

前記第2レンズ群のうちの少なくとも一枚の単レンズを、光軸と直交する方向の成分を含むように移動する防振レンズ群として配置し、

前記第3レンズ群及び前記第4レンズ群を、次式の条件を満足するように配置することを特徴とする変倍光学系の製造方法を提供する。

$$0.35 < D_3 w / (-f_3) < 0.45$$

但し、

$D_3 w$ ：広角端状態における前記第3レンズ群と前記第4レンズ群との空気間隔

f_3 ：前記第3レンズ群の焦点距離

[0012] また、本発明の第8態様は、物体側から順に、負の屈折力を有する第1レンズ群と、正の屈折力を有する第2レンズ群と、負の屈折力を有する第3レンズ群と、正の屈折力を有する第4レンズ群と、を有する変倍光学系の製造方法であって、

前記第1レンズ群、前記第2レンズ群、前記第3レンズ群及び前記第4レンズ群を、広角端状態から望遠端状態に変倍する際に、前記第1レンズ群と前記第2レンズ群との間隔が変化し、前記第2レンズ群と前記第3レンズ群との間隔が変化し、前記第3レンズ群と前記第4レンズ群との間隔が変化するように配置し、

前記第2レンズ群のうちの少なくとも一枚の単レンズを、光軸と直交する方向の成分を含むように移動する防振レンズ群として配置し、

前記第1レンズ群に、次式の条件を満足するように、最も物体側に第1負レンズを配置し、最も像側に正レンズを配置することを特徴とする変倍光学系の製造方法を提供する。

$$2.10 < f_{1g}r / (-f_{1gf}) < 3.00$$

但し、

f_{1gf} ：前記第1負レンズの焦点距離

f_{1gr} ：前記正レンズの焦点距離

[0013] また、本発明の第9態様は、物体側から順に、負の屈折力を有する第1レ

ンズ群と、正の屈折力を有する第2レンズ群と、負の屈折力を有する第3レンズ群と、正の屈折力を有する第4レンズ群と、を有する変倍光学系の製造方法であって、

前記第1レンズ群、前記第2レンズ群、前記第3レンズ群及び前記第4レンズ群を、広角端状態から望遠端状態に変倍する際に、前記第1レンズ群と前記第2レンズ群との間隔が変化し、前記第2レンズ群と前記第3レンズ群との間隔が変化し、前記第3レンズ群と前記第4レンズ群との間隔が変化するように配置し、

前記第2レンズ群のうちの少なくとも一枚の単レンズを、光軸と直交する方向の成分を含むように移動する防振レンズ群として配置し、

前記第2レンズ群及び前記第3レンズ群を、次式の条件を満足するように配置することを特徴とする変倍光学系の製造方法を提供する。

$$0.81 < f_2 / (-f_3) < 1.00$$

但し、

f_2 ：第2レンズ群の焦点距離

f_3 ：第3レンズ群の焦点距離

発明の効果

[0014] 本発明を以上のように構成すると、変倍時における収差変動が小さく、手ぶれ補正時の収差変動に対応可能な光学性能を備えた変倍光学系、この変倍光学系を有する光学装置、及び、変倍光学系の製造方法を提供することができる。

図面の簡単な説明

[0015] [図1]図1は、本願の第1ないし第3実施形態に共通の第1実施例に係る変倍光学系のレンズ構成を示す断面図である。

[図2]図2A、図2Bは、本願の第1実施例に係る変倍光学系の広角端状態における諸収差図であって、図2Aは無限遠合焦状態の収差図であり、図2Bは無限遠合焦状態において像ぶれ補正を行ったときのコマ収差図である。

[図3]図3は、本願の第1実施例に係る変倍光学系の中間焦点距離状態における

る無限遠合焦状態の諸収差図である。

[図4]図4 A、図4 Bは、本願の第1実施例に係る変倍光学系の望遠端状態における諸収差図であって、図4 Aは無限遠合焦状態の収差図であり、図4 Bは無限遠合焦状態において像ぶれ補正を行ったときのコマ収差図である。

[図5]図5は、本願の第1ないし第3実施形態に共通の第2実施例に係る変倍光学系のレンズ構成を示す断面図である。

[図6]図6 A、図6 Bは、本願の第2実施例に係る変倍光学系の広角端状態における諸収差図であって、図6 Aは無限遠合焦状態の収差図であり、図6 Bは無限遠合焦状態において像ぶれ補正を行ったときのコマ収差図である。

[図7]図7は、本願の第2実施例に係る変倍光学系の中間焦点距離状態における無限遠合焦状態の諸収差図である。

[図8]図8 A、図8 Bは、本願の第2実施例に係る変倍光学系の望遠端状態における諸収差図であって、図8 Aは無限遠合焦状態の収差図であり、図8 Bは無限遠合焦状態において像ぶれ補正を行ったときのコマ収差図である。

[図9]図9は、本願の第1ないし第3実施形態に共通の第3実施例に係る変倍光学系のレンズ構成を示す断面図である。

[図10]図10 A、図10 Bは、本願の第3実施例に係る変倍光学系の広角端状態における諸収差図であって、図10 Aは無限遠合焦状態の収差図であり、図10 Bは無限遠合焦状態において像ぶれ補正を行ったときのコマ収差図である。

[図11]図11は、本願の第3実施例に係る変倍光学系の中間焦点距離状態における無限遠合焦状態の諸収差図である。

[図12]図12 A、図12 Bは、本願の第3実施例に係る変倍光学系の望遠端状態における諸収差図であって、図12 Aは無限遠合焦状態の収差図であり、図12 Bは無限遠合焦状態において像ぶれ補正を行ったときのコマ収差図である。

[図13]図13は、本願の第1ないし第3実施形態に共通の第4実施例に係る変倍光学系のレンズ構成を示す断面図である。

[図14]図14A、図14Bは、本願の第4実施例に係る変倍光学系の広角端状態における諸収差図であって、図14Aは無限遠合焦状態の収差図であり、図14Bは無限遠合焦状態において像ぶれ補正を行ったときのコマ収差図である。

[図15]図15は、本願の第4実施例に係る変倍光学系の中間焦点距離状態における無限遠合焦状態の諸収差図である。

[図16]図16A、図16Bは、本願の第4実施例に係る変倍光学系の望遠端状態における諸収差図であって、図16Aは無限遠合焦状態の収差図であり、図16Bは無限遠合焦状態において像ぶれ補正を行ったときのコマ収差図である。

[図17]図17は、本願の第1ないし第3実施形態に係る変倍光学系を搭載するカメラの断面図を示す。

[図18]図18は、本願の第1実施形態に係る変倍光学系の製造方法を説明するためのフローチャートである。

[図19]図19は、本願の第2実施形態に係る変倍光学系の製造方法を説明するためのフローチャートである。

[図20]図20は、本願の第3実施形態に係る変倍光学系の製造方法を説明するためのフローチャートである。

発明を実施するための形態

[0016] (第1実施形態)

以下、本発明の好ましい第1実施形態について図面を参照して説明する。

図1に示すように、本第1実施形態に係る変倍光学系ZLは、物体側から順に、負の屈折力を有する第1レンズ群G1と、正の屈折力を有する第2レンズ群G2と、負の屈折力を有する第3レンズ群G3と、正の屈折力を有する第4レンズ群G4と、を有して構成される。また、この変倍光学系ZLは、広角端状態から望遠端状態に変倍する際に、第1レンズ群G1と第2レンズ群G2との間隔が変化し、第2レンズ群G2と第3レンズ群G3との間隔が変化し、第3レンズ群G3と第4レンズ群G4との間隔が変化する。また、

この変倍光学系ZLにおいて、第2レンズ群G2のうちの少なくとも一枚の単レンズ（例えば、図1における正メニスカスレンズL21）は、光軸と直交する方向の成分を含むように移動する防振レンズ群VLである。本第1実施形態に係る変倍光学系ZLをこのように構成すると、変倍時の望遠端におけるコマ収差と広角端における像面湾曲収差とを効果的に補正しつつ、光軸と略直交する方向の所定の像面移動量を確保することができる。

[0017] それでは、このような変倍光学系ZLを構成するための条件について説明する。まず、この変倍光学系ZLは、以下に示す条件式(1)を満足することが望ましい。

$$0.35 < D_{3w} / (-f_3) < 0.45 \quad (1)$$

但し、

D_{3w} ：広角端状態における第3レンズ群G3と第4レンズ群G4との空気間隔

f_3 ：第3レンズ群G3の焦点距離

[0018] 条件式(1)は第3レンズ群G3の焦点距離に対する第3レンズ群G3と第4レンズ群G4との空気間隔を規定するための条件式である。 $D_{3w} / (-f_3)$ がこの条件式(1)の上限値を上回ると、広角端状態における第3レンズ群G3と第4レンズ群G4との空気間隔 D_{3w} が広くなり、また第3レンズ群G3の焦点距離 f_3 が短くなり、広角端状態における球面収差の補正が困難となるため好ましくない。なお、本願の効果を確実にするために、条件式(1)の上限値を0.42にすることが好ましい。反対に、 $D_{3w} / (-f_3)$ が条件式(1)の下限値を下回ると、広角端状態における第3レンズ群G3と第4レンズ群G4との空気間隔 D_{3w} が狭くなり、また第3レンズ群G3の焦点距離 f_3 が長くなり、広角端状態における像面湾曲収差の補正が困難となるため好ましくない。なお、本願の効果を確実にするために、条件式(1)の下限値を0.38にすることが好ましい。

[0019] また、この変倍光学系ZLにおいて、第1レンズ群G1は、最も物体側に第1負レンズ（例えば、図1における非球面負レンズL11）を有し、最も

像側に正レンズ（例えば、図1における正メニスカスレンズL13）を有し、以下に示す条件式（2）を満足することが望ましい。

$$2.10 < f_{1g}r / (-f_{1g}f) < 3.00 \quad (2)$$

但し、

$f_{1g}f$ ：第1負レンズの焦点距離

$f_{1g}r$ ：正レンズの焦点距離

[0020] 条件式（2）は第1レンズ群G1の焦点距離に対して、最も物体側に配置された第1負レンズの焦点距離 $f_{1g}f$ と最も像側に配置された正レンズの焦点距離 $f_{1g}r$ とを適切に規定するものである。 $f_{1g}r / (-f_{1g}f)$ がこの条件式（2）の上限値を上回ると、第1負レンズの焦点距離 $f_{1g}f$ が短くなり、また正レンズの焦点距離 $f_{1g}r$ が長くなり、広角端状態におけるコマ収差の補正が困難となるため好ましくない。なお、本願の効果を確実にするために、条件式（2）の上限値を2.44にすることが好ましい。反対に、 $f_{1g}r / (-f_{1g}f)$ が条件式（2）の下限値を下回ると、第1負レンズの焦点距離 $f_{1g}f$ が長くなり、また正レンズの焦点距離 $f_{1g}r$ が短くなり、望遠端状態における球面収差の補正が困難となるため好ましくない。なお、本願の効果を確実にするために、条件式（2）の下限値を2.14にすることが好ましい。

[0021] ここで、第1負レンズと正レンズとの間に少なくとも一枚の負レンズ（例えば、図1における両凹レンズL12）を設けることにより、先玉レンズ径が大きくなることなく、広角端近傍の像面湾曲を良好に補正することができる。さらには、この第1レンズ群G1を、第1負レンズ、第2負レンズ及び正レンズからなる3枚のレンズで構成することにより、この効果をより発揮させることができる。

[0022] また、この変倍光学系ZLは、以下に示す条件式（3）を満足することが望ましい。

$$0.81 < f_2 / (-f_3) < 1.00 \quad (3)$$

但し、

f_2 : 第2レンズ群G2の焦点距離

f_3 : 第3レンズ群G3の焦点距離

[0023] 条件式(3)は第2レンズ群G2の焦点距離に対する、適切な第3レンズ群G3の焦点距離を規定するものである。 $f_2 / (-f_3)$ がこの条件式(3)の上限値を上回ると、第3レンズ群G3の焦点距離が短くなり、また第2レンズ群G2の焦点距離が長くなり、望遠端状態における像面湾曲収差の補正が困難となるため好ましくない。なお、本願の効果を確実にするために、条件式(3)の上限値を0.84とすることが好ましい。反対に、 $f_2 / (-f_3)$ が条件式(3)の下限値を下回ると、第3レンズ群G3の焦点距離が長くなり、また第2レンズ群G2の焦点距離が短くなり、広角端状態における球面収差の補正が困難となるため好ましくない。なお、本願の効果を確実にするために、条件式(3)の下限値を0.82とすることが好ましい。

[0024] また、この変倍光学系ZLは、第3レンズ群G3の近傍に開口絞りSを有することが望ましい。このような構成によると、広角端から望遠端の開放絞り径を一定にして、メカ構成を簡素化することで、組み付け誤差による光学性能の劣化を防ぐことができる。

[0025] また、この変倍光学系ZLは、以下に示す条件式(4)を満足することが望ましい。

$$0.60 < f_2 / f_4 < 0.70 \quad (4)$$

但し、

f_2 : 第2レンズ群G2の焦点距離

f_4 : 第4レンズ群G4の焦点距離

[0026] 条件式(4)は第2レンズ群G2の焦点距離に対する、適切な第4レンズ群G4の焦点距離を規定するものである。 f_2 / f_4 がこの条件式(4)の上限値を上回ると、第4レンズ群G4の焦点距離が短くなり、また第2レンズ群G2の焦点距離が長くなり、広角端状態における球面収差の補正が困難となるため好ましくない。なお、本願の効果を確実にするために、条件式(4)

4) の上限値を0.68とすることが好ましい。反対に、 f_2/f_4 が条件式(4)の下限値を下回ると、第4レンズ群G4の焦点距離が長くなり、また第2レンズ群G2の焦点距離が短くなり、望遠端状態における像面湾曲収差の補正が困難となるため好ましくない。なお、本願の効果を確実にするために、条件式(4)の下限値を0.65とすることが好ましい。

[0027] また、この変倍光学系ZLにおいて、第1レンズ群G1のうち、最も物体側のレンズは非球面（例えば、図1における非球面負レンズL11の像側の面（第3面））を有することが望ましい。これにより、広角端状態における像面湾曲収差と望遠端状態における球面収差を効果的に補正することができる。

[0028] また、この変倍光学系ZLにおいて、第3レンズ群G3は、正レンズと負レンズとを貼り合わせた接合レンズで構成されていることが望ましい。これにより、広角端状態における色コマ収差を効果的に補正することができる。

[0029] また、この変倍光学系ZLは、広角端状態から望遠端状態に変倍する際に、第2レンズ群G2と第3レンズ群G3との間隔が増大し、第3レンズ群G3と第4レンズ群G4との間隔が減少するように構成されていることが望ましい。これにより、球面収差と像面湾曲の変動を効果的に補正しつつ、所定の変倍比を確保することができる。

[0030] また、この変倍光学系ZLにおいて、第2レンズ群G2、第3レンズ群G3及び第4レンズ群G4は、全てのレンズが球面レンズで構成されていることが望ましい。これにより、レンズ加工及び組立調整が容易になり、加工及び組立調整の誤差による光学性能の劣化を防ぐことができる。

[0031] 以下、本第1実施形態に係る変倍光学系ZLの製造方法の概略を、図18を参照して説明する。まず、各レンズを配置してレンズ群G1～G4をそれぞれ準備する（ステップS11）。また、広角端状態から望遠端状態まで変倍する際に、第1レンズ群G1と第2レンズ群G2との間隔が変化し、第2レンズ群G2と第3レンズ群G3との間隔が変化し、第3レンズ群G3と第4レンズ群G4との間隔が変化するよう配置する（ステップS12）。また

、第2レンズ群G2のうちの少なくとも一枚の単レンズを、光軸と直交する方向の成分を含むように移動する防振レンズ群VLとして配置する（ステップS13）。さらにまた、第3レンズ群G3及び第4レンズ群G4を、前述の条件式（1）を満足するように配置する（ステップS14）。

[0032] 具体的には、本第1実施形態では、例えば図1に示すように、物体側から順に、物体側に凸面を向けた負メニスカスレンズ形状の非球面負レンズL11、両凹レンズL12、及び、物体側に凸面を向けた正メニスカスレンズL13を配置して第1レンズ群G1とし、物体側から順に、物体側に凹面を向けた正メニスカスレンズL21、物体側に凸面を向けた負メニスカスレンズL22、及び、物体側に凸面を向けた正メニスカスレンズL23を配置して第2レンズ群G2とし、物体側から順に、物体側に凹面を向けた正メニスカスレンズL31と両凹レンズL32との接合レンズを配置して第3レンズ群G3とし、物体側から順に、物体側に凹面を向けた正メニスカスレンズL41、及び、両凸レンズL42と物体側に凹面を向けた負メニスカスレンズL43との接合レンズを配置して第4レンズ群G4とする。このようにして準備した各レンズ群を上述の手順で配置して変倍光学系ZLを製造する。

[0033] （第2実施形態）

以下、本発明の好ましい第2実施形態について図面を参照して説明する。図1に示すように、本第2実施形態に係る変倍光学系ZLは、物体側から順に、負の屈折力を有する第1レンズ群G1と、正の屈折力を有する第2レンズ群G2と、負の屈折力を有する第3レンズ群G3と、正の屈折力を有する第4レンズ群G4と、を有して構成される。また、この変倍光学系ZLは、広角端状態から望遠端状態に変倍する際に、第1レンズ群G1と第2レンズ群G2との間隔が変化し、第2レンズ群G2と第3レンズ群G3との間隔が変化し、第3レンズ群G3と第4レンズ群G4との間隔が変化する。また、この変倍光学系ZLにおいて、第2レンズ群G2のうちの少なくとも一枚の単レンズ（例えば、図1における正メニスカスレンズL21）は、光軸と直交する方向の成分を含むように移動する防振レンズ群VLである。本第2実

施形態に係る変倍光学系ZLをこのように構成すると、変倍時の望遠端におけるコマ収差と広角端における像面湾曲収差とを効果的に補正しつつ、光軸と略直交する方向の所定の像面移動量を確保することができる。

[0034] それでは、このような変倍光学系ZLを構成するための条件について説明する。まず、この変倍光学系ZLにおいて、第1レンズ群G1は、最も物体側に第1負レンズ（例えば、図1における非球面負レンズL11）を有し、最も像側に正レンズ（例えば、図1における正メニスカスレンズL13）を有し、以下に示す条件式（2）を満足することが望ましい。

$$2.10 < f_{1g}r / (-f_{1g}f) < 3.00 \quad (2)$$

但し、

$f_{1g}f$ ：第1負レンズの焦点距離

$f_{1g}r$ ：正レンズの焦点距離

[0035] 条件式（2）は第1レンズ群G1の焦点距離に対して、最も物体側に配置された第1負レンズの焦点距離 $f_{1g}f$ と最も像側に配置された正レンズの焦点距離 $f_{1g}r$ とを適切に規定するものである。 $f_{1g}r / (-f_{1g}f)$ がこの条件式（2）の上限値を上回ると、第1負レンズの焦点距離 $f_{1g}f$ が短くなり、また正レンズの焦点距離 $f_{1g}r$ が長くなり、広角端状態におけるコマ収差の補正が困難となるため好ましくない。なお、本願の効果を確実にするために、条件式（2）の上限値を2.44にすることが好ましい。反対に、 $f_{1g}r / (-f_{1g}f)$ が条件式（2）の下限値を下回ると、第1負レンズの焦点距離 $f_{1g}f$ が長くなり、また正レンズの焦点距離 $f_{1g}r$ が短くなり、望遠端状態における球面収差の補正が困難となるため好ましくない。なお、本願の効果を確実にするために、条件式（2）の下限値を2.14にすることが好ましい。

[0036] ここで、第1負レンズと正レンズとの間に少なくとも一枚の負レンズ（例えば、図1における両凹レンズL12）を設けることにより、先玉レンズ径が大きくなることなく、広角端近傍の像面湾曲を良好に補正することができる。さらには、この第1レンズ群G1を、第1負レンズ、第2負レンズ及び

正レンズからなる3枚のレンズで構成することにより、この効果をより発揮させることができる。

[0037] また、この変倍光学系ZLは、以下に示す条件式(1)を満足することが望ましい。

$$0.35 < D_{3w} / (-f_3) < 0.45 \quad (1)$$

但し、

D_{3w} ：広角端状態における第3レンズ群G3と第4レンズ群G4との空気間隔

f_3 ：第3レンズ群G3の焦点距離

[0038] 条件式(1)は第3レンズ群G3の焦点距離に対する第3レンズ群G3と第4レンズ群G4との空気間隔を規定するための条件式である。 $D_{3w} / (-f_3)$ がこの条件式(1)の上限値を上回ると、広角端状態における第3レンズ群G3と第4レンズ群G4との空気間隔 D_{3w} が広くなり、また第3レンズ群G3の焦点距離 f_3 が短くなり、広角端状態における球面収差の補正が困難となるため好ましくない。なお、本願の効果を確実にするために、条件式(1)の上限値を0.42にすることが好ましい。反対に、 $D_{3w} / (-f_3)$ が条件式(1)の下限値を下回ると、広角端状態における第3レンズ群G3と第4レンズ群G4との空気間隔 D_{3w} が狭くなり、また第3レンズ群G3の焦点距離 f_3 が長くなり、広角端状態における像面湾曲収差の補正が困難となるため好ましくない。なお、本願の効果を確実にするために、条件式(1)の下限値を0.38にすることが好ましい。

[0039] また、この変倍光学系ZLは、以下に示す条件式(3)を満足することが望ましい。

$$0.81 < f_2 / (-f_3) < 1.00 \quad (3)$$

但し、

f_2 ：第2レンズ群G2の焦点距離

f_3 ：第3レンズ群G3の焦点距離

[0040] 条件式(3)は第2レンズ群G2の焦点距離に対する、適切な第3レンズ

群G 3 の焦点距離を規定するものである。 $f_2 / (-f_3)$ がこの条件式（3）の上限値を上回ると、第3レンズ群G 3 の焦点距離が短くなり、また第2レンズ群G 2 の焦点距離が長くなり、望遠端状態における像面湾曲収差の補正が困難となるため好ましくない。なお、本願の効果を確実にするために、条件式（3）の上限値を0.84とすることが好ましい。反対に、 $f_2 / (-f_3)$ が条件式（3）の下限値を下回ると、第3レンズ群G 3 の焦点距離が長くなり、また第2レンズ群G 2 の焦点距離が短くなり、広角端状態における球面収差の補正が困難となるため好ましくない。なお、本願の効果を確実にするために、条件式（3）の下限値を0.82とすることが好ましい。

[0041] また、この変倍光学系ZLは、第3レンズ群G 3 の近傍に開口絞りSを有することが望ましい。このような構成によると、広角端から望遠端の開放絞り径を一定にして、メカ構成を簡素化することで、組み付け誤差による光学性能の劣化を防ぐことができる。

[0042] また、この変倍光学系ZLは、以下に示す条件式（4）を満足することが望ましい。

$$0.60 < f_2 / f_4 < 0.70 \quad (4)$$

但し、

f_2 ：第2レンズ群G 2 の焦点距離

f_4 ：第4レンズ群G 4 の焦点距離

[0043] 条件式（4）は第2レンズ群G 2 の焦点距離に対する、適切な第4レンズ群G 4 の焦点距離を規定するものである。 f_2 / f_4 がこの条件式（4）の上限値を上回ると、第4レンズ群G 4 の焦点距離が短くなり、また第2レンズ群G 2 の焦点距離が長くなり、広角端状態における球面収差の補正が困難となるため好ましくない。なお、本願の効果を確実にするために、条件式（4）の上限値を0.68とすることが好ましい。反対に、 f_2 / f_4 が条件式（4）の下限値を下回ると、第4レンズ群G 4 の焦点距離が長くなり、また第2レンズ群G 2 の焦点距離が短くなり、望遠端状態における像面湾曲収

差の補正が困難となるため好ましくない。なお、本願の効果を確実にするために、条件式（4）の下限値を0.65とすることが好ましい。

- [0044] また、この変倍光学系ZLにおいて、第1レンズ群G1のうち、最も物体側のレンズは非球面（例えば、図1における非球面負レンズL11の像側の面（第3面））を有することが望ましい。これにより、広角端状態における像面湾曲収差と望遠端状態における球面収差を効果的に補正することができる。
- [0045] また、この変倍光学系ZLにおいて、第3レンズ群G3は、正レンズと負レンズとを貼り合わせた接合レンズで構成されていることが望ましい。これにより、広角端状態における色コマ収差を効果的に補正することができる。
- [0046] また、この変倍光学系ZLは、広角端状態から望遠端状態に変倍する際に、第2レンズ群G2と第3レンズ群G3との間隔が増大し、第3レンズ群G3と第4レンズ群G4との間隔が減少するように構成されていることが望ましい。これにより、球面収差と像面湾曲の変動を効果的に補正しつつ、所定の変倍比を確保することができる。
- [0047] また、この変倍光学系ZLにおいて、第2レンズ群G2、第3レンズ群G3及び第4レンズ群G4は、全てのレンズが球面レンズで構成されていることが望ましい。これにより、レンズ加工及び組立調整が容易になり、加工及び組立調整の誤差による光学性能の劣化を防ぐことができる。
- [0048] 以下、本第2実施形態に係る変倍光学系ZLの製造方法の概略を、図19を参照して説明する。まず、各レンズを配置してレンズ群G1～G4をそれぞれ準備する（ステップS21）。また、広角端状態から望遠端状態まで変倍する際に、第1レンズ群G1と第2レンズ群G2との間隔が変化し、第2レンズ群G2と第3レンズ群G3との間隔が変化し、第3レンズ群G3と第4レンズ群G4との間隔が変化するよう配置する（ステップS22）。また、第2レンズ群G2のうちの少なくとも一枚の単レンズを、光軸と直交する方向の成分を含むように移動する防振レンズ群VLとして配置する（ステップS23）。さらにまた、第1レンズ群G1に、前述の条件式（2）を満足

するように、最も物体側に第1負レンズを配置し、最も像側に正レンズを配置する(ステップS24)。

[0049] 具体的には、本第2実施形態では、例えば図1に示すように、物体側から順に、物体側に凸面を向けた負メニスカスレンズ形状の非球面負レンズL1、両凹レンズL12、及び、物体側に凸面を向けた正メニスカスレンズL13を配置して第1レンズ群G1とし、物体側から順に、物体側に凹面を向けた正メニスカスレンズL21、物体側に凸面を向けた負メニスカスレンズL22、及び、物体側に凸面を向けた正メニスカスレンズL23を配置して第2レンズ群G2とし、物体側から順に、物体側に凹面を向けた正メニスカスレンズL31と両凹レンズL32との接合レンズを配置して第3レンズ群G3とし、物体側から順に、物体側に凹面を向けた正メニスカスレンズL41、及び、両凸レンズL42と物体側に凹面を向けた負メニスカスレンズL43との接合レンズを配置して第4レンズ群G4とする。このようにして準備した各レンズ群を上述の手順で配置して変倍光学系ZLを製造する。

[0050] (第3実施形態)

以下、本発明の好ましい第3実施形態について図面を参照して説明する。図1に示すように、本第3実施形態に係る変倍光学系ZLは、物体側から順に、負の屈折力を有する第1レンズ群G1と、正の屈折力を有する第2レンズ群G2と、負の屈折力を有する第3レンズ群G3と、正の屈折力を有する第4レンズ群G4と、を有して構成される。また、この変倍光学系ZLは、広角端状態から望遠端状態に変倍する際に、第1レンズ群G1と第2レンズ群G2との間隔が変化し、第2レンズ群G2と第3レンズ群G3との間隔が変化し、第3レンズ群G3と第4レンズ群G4との間隔が変化する。また、この変倍光学系ZLにおいて、第2レンズ群G2のうちの少なくとも一枚の単レンズ(例えば、図1における正メニスカスレンズL21)は、光軸と直交する方向の成分を含むように移動する防振レンズ群VLである。本第3実施形態に係る変倍光学系ZLをこのように構成すると、変倍時の望遠端におけるコマ収差と広角端における像面湾曲収差とを効果的に補正しつつ、光軸

と略直交する方向の所定の像面移動量を確保することができる。

[0051] それでは、このような変倍光学系ZLを構成するための条件について説明する。まず、この変倍光学系ZLは、以下に示す条件式(3)を満足することが望ましい。

$$0.81 < f_2 / (-f_3) < 1.00 \quad (3)$$

但し、 f_2 ：第2レンズ群G2の焦点距離

f_3 ：第3レンズ群G3の焦点距離

[0052] 条件式(3)は第2レンズ群G2の焦点距離に対する、適切な第3レンズ群G3の焦点距離を規定するものである。 $f_2 / (-f_3)$ がこの条件式(3)の上限値を上回ると、第3レンズ群G3の焦点距離が短くなり、また第2レンズ群G2の焦点距離が長くなり、望遠端状態における像面湾曲収差の補正が困難となるため好ましくない。なお、本願の効果を確実にするために、条件式(3)の上限値を0.84とすることが好ましい。反対に、 $f_2 / (-f_3)$ が条件式(3)の下限値を下回ると、第3レンズ群G3の焦点距離が長くなり、また第2レンズ群G2の焦点距離が短くなり、広角端状態における球面収差の補正が困難となるため好ましくない。なお、本願の効果を確実にするために、条件式(3)の下限値を0.82とすることが好ましい。

[0053] また、この変倍光学系ZLは、第3レンズ群G3の近傍に開口絞りSを有することが望ましい。このような構成によると、広角端から望遠端の開放絞り径を一定にして、メカ構成を簡素化することで、組み付け誤差による光学性能の劣化を防ぐことができる。

[0054] また、この変倍光学系ZLにおいて、第1レンズ群G1は、最も物体側に第1負レンズ（例えば、図1における非球面負レンズL11）を有し、最も像側に正レンズ（例えば、図1における正メニスカスレンズL13）を有し、以下に示す条件式(2)を満足することが望ましい。

$$2.10 < f_{1g}r / (-f_{1gf}) < 3.00 \quad (2)$$

但し、

$f_{1g f}$: 第1負レンズの焦点距離

$f_{1g r}$: 正レンズの焦点距離

[0055] 条件式(2)は第1レンズ群G1の焦点距離に対して、最も物体側に配置された第1負レンズの焦点距離 $f_{1g f}$ と最も像側に配置された正レンズの焦点距離 $f_{1g r}$ とを適切に規定するものである。 $f_{1g r} / (-f_{1g f})$ がこの条件式(2)の上限値を上回ると、第1負レンズの焦点距離 $f_{1g f}$ が短くなり、また正レンズの焦点距離 $f_{1g r}$ が長くなり、広角端状態におけるコマ収差の補正が困難となるため好ましくない。なお、本願の効果を確実にするために、条件式(2)の上限値を2.44にすることが好ましい。反対に、 $f_{1g r} / (-f_{1g f})$ が条件式(2)の下限値を下回ると、第1負レンズの焦点距離 $f_{1g f}$ が長くなり、また正レンズの焦点距離 $f_{1g r}$ が短くなり、望遠端状態における球面収差の補正が困難となるため好ましくない。なお、本願の効果を確実にするために、条件式(2)の下限値を2.14にすることが好ましい。

[0056] ここで、第1負レンズと正レンズとの間に少なくとも一枚の負レンズ（例えば、図1における両凹レンズL12）を設けることにより、先玉レンズ径が大きくなることなく、広角端近傍の像面湾曲を良好に補正することができる。さらには、この第1レンズ群G1を、第1負レンズ、第2負レンズ及び正レンズからなる3枚のレンズで構成することにより、この効果をより発揮させることができる。

[0057] また、この変倍光学系ZLは、以下に示す条件式(1)を満足することが望ましい。

$$0.35 < D_{3w} / (-f_3) < 0.45 \quad (1)$$

但し、

D_{3w} : 広角端状態における第3レンズ群G3と第4レンズ群G4との空気間隔

f_3 : 第3レンズ群G3の焦点距離

[0058] 条件式(1)は第3レンズ群G3の焦点距離に対する第3レンズ群G3と

第4レンズ群G4との空気間隔を規定するための条件式である。 $D_{3w} / (-f_3)$ がこの条件式(1)の上限値を上回ると、広角端状態における第3レンズ群G3と第4レンズ群G4との空気間隔 D_{3w} が広くなり、また第3レンズ群G3の焦点距離 f_3 が短くなり、広角端状態における球面収差の補正が困難となるため好ましくない。なお、本願の効果を確実にするために、条件式(1)の上限値を0.42にすることが好ましい。反対に、 $D_{3w} / (-f_3)$ が条件式(1)の下限値を下回ると、広角端状態における第3レンズ群G3と第4レンズ群G4との空気間隔 D_{3w} が狭くなり、また第3レンズ群G3の焦点距離 f_3 が長くなり、広角端状態における像面湾曲収差の補正が困難となるため好ましくない。なお、本願の効果を確実にするために、条件式(1)の下限値を0.38にすることが好ましい。

[0059] また、この変倍光学系ZLは、以下に示す条件式(4)を満足することが望ましい。

$$0.60 < f_2 / f_4 < 0.70 \quad (4)$$

但し、

f_2 ：第2レンズ群G2の焦点距離

f_4 ：第4レンズ群G4の焦点距離

[0060] 条件式(4)は第2レンズ群G2の焦点距離に対する、適切な第4レンズ群G4の焦点距離を規定するものである。 f_2 / f_4 がこの条件式(4)の上限値を上回ると、第4レンズ群G4の焦点距離が短くなり、また第2レンズ群G2の焦点距離が長くなり、広角端状態における球面収差の補正が困難となるため好ましくない。なお、本願の効果を確実にするために、条件式(4)の上限値を0.68とすることが好ましい。反対に、 f_2 / f_4 が条件式(4)の下限値を下回ると、第4レンズ群G4の焦点距離が長くなり、また第2レンズ群G2の焦点距離が短くなり、望遠端状態における像面湾曲収差の補正が困難となるため好ましくない。なお、本願の効果を確実にするために、条件式(4)の下限値を0.65とすることが好ましい。

[0061] また、この変倍光学系ZLにおいて、第1レンズ群G1のうち、最も物体

側のレンズは非球面（例えば、図1における非球面負レンズL11の像側の面（第3面））を有することが望ましい。これにより、広角端状態における像面湾曲収差と望遠端状態における球面収差を効果的に補正することができる。

- [0062] また、この変倍光学系ZLにおいて、第3レンズ群G3は、正レンズと負レンズとを貼り合わせた接合レンズで構成されていることが望ましい。これにより、広角端状態における色コマ収差を効果的に補正することができる。
- [0063] また、この変倍光学系ZLは、広角端状態から望遠端状態に変倍する際に、第2レンズ群G2と第3レンズ群G3との間隔が増大し、第3レンズ群G3と第4レンズ群G4との間隔が減少するように構成されていることが望ましい。これにより、球面収差と像面湾曲の変動を効果的に補正しつつ、所定の変倍比を確保することができる。
- [0064] また、この変倍光学系ZLにおいて、第2レンズ群G2、第3レンズ群G3及び第4レンズ群G4は、全てのレンズが球面レンズで構成されていることが望ましい。これにより、レンズ加工及び組立調整が容易になり、加工及び組立調整の誤差による光学性能の劣化を防ぐことができる。
- [0065] 以下、本第3実施形態に係る変倍光学系ZLの製造方法の概略を、図20を参照して説明する。まず、各レンズを配置してレンズ群G1～G4をそれぞれ準備する（ステップS31）。また、広角端状態から望遠端状態まで変倍する際に、第1レンズ群G1と第2レンズ群G2との間隔が変化し、第2レンズ群G2と第3レンズ群G3との間隔が変化し、第3レンズ群G3と第4レンズ群G4との間隔が変化するよう配置する（ステップS32）。また、第2レンズ群G2のうちの少なくとも一枚の単レンズを、光軸と直交する方向の成分を含むように移動する防振レンズ群VLとして配置する（ステップS33）。さらにまた、第2レンズ群G2及び第3レンズ群G3を、前述の条件式（3）を満足するように配置する（ステップS34）。
- [0066] 具体的には、本第3実施形態では、例えば図1に示すように、物体側から順に、物体側に凸面を向けた負メニスカスレンズ形状の非球面負レンズL1

1、両凹レンズL12、及び、物体側に凸面を向けた正メニスカスレンズL13を配置して第1レンズ群G1とし、物体側から順に、物体側に凹面を向けた正メニスカスレンズL21、物体側に凸面を向けた負メニスカスレンズL22、及び、物体側に凸面を向けた正メニスカスレンズL23を配置して第2レンズ群G2とし、物体側から順に、物体側に凹面を向けた正メニスカスレンズL31と両凹レンズL32との接合レンズを配置して第3レンズ群G3とし、物体側から順に、物体側に凹面を向けた正メニスカスレンズL41、及び、両凸レンズL42と物体側に凹面を向けた負メニスカスレンズL43との接合レンズを配置して第4レンズ群G4とする。このようにして準備した各レンズ群を上述の手順で配置して変倍光学系ZLを製造する。

[0067] 次に、本願の第1ないし第3実施形態に共通の第1実施例に係る変倍光学系ZLを備えた光学装置であるカメラを図17に基づいて説明する。このカメラ1は、撮影レンズ2として本願の第1実施例に係る変倍光学系ZLを備えたレンズ交換式の所謂ミラーレスカメラである。本カメラ1において、不図示の物体（被写体）からの光は、撮影レンズ2で集光されて、不図示のOLPF（Optical low pass filter：光学ローパスフィルタ）を介して撮像部3の撮像面上に被写体像を形成する。そして、撮像部3に設けられた光電変換素子により被写体像が光電変換されて被写体の画像が生成される。この画像は、カメラ1に設けられたEVF（Electronic view finder：電子ビューファインダ）4に表示される。これにより撮影者は、EVF4を介して被写体を観察することができる。

[0068] また、撮影者によって不図示のレリーズボタンが押されると、撮像部3により光電変換された画像が不図示のメモリに記憶される。このようにして、撮影者は本カメラ1による被写体の撮影を行うことができる。なお、本実施形態では、ミラーレスカメラの例を説明したが、カメラ本体にクイックリターンミラーを有しファインダー光学系により被写体を観察する一眼レフタイプのカメラに本実施形態に係る変倍光学系ZLを搭載した場合でも、上記カメラ1と同様の効果を奏することができる。

[0069] なお、以下に記載の内容は、光学性能を損なわない範囲で適宜採用可能である。

本願の第1ないし第3実施形態では、4群構成の変倍光学系ZLを示したが、以上の構成条件等は、5群、6群等の他の群構成にも適用可能である。また、最も物体側にレンズまたはレンズ群を追加した構成や、最も像側にレンズまたはレンズ群を追加した構成でも構わない。また、レンズ群とは、変倍時に変化する空気間隔で分離された、少なくとも1枚のレンズを有する部分を示す。

[0070] また、単独または複数のレンズ群、または部分レンズ群を光軸方向に移動させて、無限遠物体から近距離物体への合焦を行う合焦レンズ群としても良い。この場合、合焦レンズ群はオートフォーカスにも適用でき、オートフォーカス用の（超音波モーター等の）モーター駆動にも適している。特に、前述のように、第1レンズ群G1の少なくとも一部を合焦レンズ群とするのが好ましい。

[0071] また、レンズ群または部分レンズ群を光軸に垂直な方向の成分を持つよう移動させ、または、光軸を含む面内方向に回転移動（揺動）させて、手ぶれによって生じる像ぶれを補正する防振レンズ群としてもよい。特に、前述のように、第2レンズ群G2の少なくとも一部を防振レンズ群とするのが好ましい。

[0072] また、レンズ面は、球面または平面で形成されても、非球面で形成されても構わない。レンズ面が球面または平面の場合、レンズ加工及び組立調整が容易になり、加工及び組立調整の誤差による光学性能の劣化を妨げるので好ましい。また、像面がずれた場合でも描写性能の劣化が少ないので好ましい。レンズ面が非球面の場合、非球面は、研削加工による非球面、ガラスを型で非球面形状に形成したガラスモールド非球面、ガラスの表面に樹脂を非球面形状に形成した複合型非球面のいずれの非球面でも構わない。また、レンズ面は回折面としても良く、レンズを屈折率分布型レンズ（GRINレンズ）或いはプラスチックレンズとしても良い。

- [0073] 開口絞り S は、第 3 レンズ群 G 3 の近傍に配置されるのが好ましいが、開口絞りとしての部材を設けずに、レンズの枠でその役割を代用しても良い。
- [0074] さらに、各レンズ面には、フレアやゴーストを軽減し高コントラストの高い光学性能を達成するために、広い波長域で高い透過率を有する反射防止膜を施しても良い。
- [0075] また、本願の第 1 ないし第 3 実施形態の変倍光学系 Z L は、変倍比が 2.0 ~ 5.0 程度である。
- [0076] 以下、本願の第 1 ないし第 3 実施形態に共通の各実施例を、図面に基づいて説明する。第 1 ないし第 4 実施例は、第 1 ないし第 3 実施形態の全てに共通する実施例である。なお、図 1、図 5、図 9 及び図 13 は、各実施例に係る変倍光学系 Z L (Z L 1 ~ Z L 4) の構成及び屈折力配分並びに無限遠合焦状態から近距離合焦状態への合焦状態の変化における各レンズ群の移動の様子を示す断面図である。また、これらの変倍光学系 Z L 1 ~ Z L 4 の断面図の下部には、広角端状態 (W) から望遠端状態 (T) に変倍する際の各レンズ群 G 1 ~ G 4 の光軸に沿った移動方向が矢印で示されている。また、図 1、図 5、図 9 及び図 13 に示すように、第 1 ~ 第 4 実施例に係る変倍光学系 Z L 1 ~ Z L 4 は、物体側から順に、負の屈折力を有する第 1 レンズ群 G 1 と、正の屈折力を有する第 2 レンズ群 G 2 と、負の屈折力を有する第 3 レンズ群 G 3 と、正の屈折力を有する第 4 レンズ群 G 4 とから構成されている。そして、広角端状態から望遠端状態への変倍に際し、第 1 レンズ群 G 1 と第 2 レンズ群 G 2 との空気間隔が変化し、第 2 レンズ群 G 2 と第 3 レンズ群 G 3 との空気間隔が増大し、第 3 レンズ群 G 3 と第 4 レンズ群 G 4 との空気間隔が減少するように、各レンズ群の間隔が変化する。
- [0077] 各実施例において、非球面は、光軸に垂直な方向の高さを y とし、高さ y における各非球面の頂点の接平面から各非球面までの光軸に沿った距離 (サグ量) を S (y) とし、基準球面の曲率半径 (近軸曲率半径) を r とし、円錐定数を κ とし、n 次の非球面係数を A n としたとき、以下の式 (a) で表される。

$$S(y) = (y^2/r) / \{1 + (1 - \kappa \times y^2/r^2)^{1/2}\} \\ + A4 \times y^4 + A6 \times y^6 + A8 \times y^8 + A10 \times y^{10} \quad (a)$$

[0078] なお、各実施例において、2次の非球面係数A2は0である。また、各実施例の表中において、非球面には面番号の右側に＊印を付している。また、以降の実施例において、「E-n」は「×10⁻ⁿ」を示す。

[0079] [第1実施例]

図1は、第1実施例に係る変倍光学系ZL1の構成を示す図である。この図1に示す変倍光学系ZL1において、第1レンズ群G1は、物体側から順に、物体側に凸面を向けた負メニスカスレンズ形状の非球面負レンズL11、両凹レンズL12、及び、物体側に凸面を向けた正メニスカスレンズL13から構成されている。ここで、非球面負レンズL11は、像側のガラスレンズ面（第2面）に樹脂層を設け、その樹脂層の像側の面（第3面）が非球面形状に形成されている。第2レンズ群G2は、物体側から順に、物体側に凹面を向けた正メニスカスレンズL21、物体側に凸面を向けた負メニスカスレンズL22、及び、物体側に凸面を向けた正メニスカスレンズL23から構成されている。第3レンズ群G3は、物体側から順に、物体側に凹面を向けた正メニスカスレンズL31と両凹レンズL32との接合レンズから構成されている。第4レンズ群G4は、物体側から順に、物体側に凹面を向けた正メニスカスレンズL41、及び、両凸レンズL42と物体側に凹面を向けた負メニスカスレンズL43との接合レンズから構成されている。

[0080] また、開口絞りSは、第2レンズ群G2と第3レンズ群G3との間（第3レンズ群G3の物体側の近傍）に配置され、広角端状態から望遠端状態への変倍に際して第3レンズ群G3とともに移動する。また、無限遠から近距離物体への合焦は、第1レンズ群G1を物体方向に繰り出す（移動させる）ことにより行う。

[0081] また、像ぶれ補正（防振）は、第2レンズ群G2の正メニスカスレンズL21を防振レンズ群VLとし、この防振レンズ群VLを光軸と直交する方向の成分を含むように移動させることにより行う。

[0082] なお、全系の焦点距離が f で、防振係数（像ぶれ補正での防振レンズ群 V_L の移動量に対する結像面での像移動量の比）が K のレンズで角度 θ の回転ぶれを補正するには、ぶれ補正用の防振レンズ群 V_L を $(f \cdot \tan \theta) / K$ だけ光軸と直交方向に移動させればよい（以降の実施例においても同様である）。この第1実施例の広角端状態においては、防振係数は 0.77 であり、焦点距離は 18.11 (mm) であるので、0.45° の回転ぶれを補正するための防振レンズ群 V_L の移動量は 0.18 (mm) である。また、この第1実施例の望遠端状態においては、防振係数は 1.29 であり、焦点距離は 50.92 (mm) であるので、0.27° の回転ぶれを補正するための防振レンズ群 V_L の移動量は 0.18 (mm) である。

[0083] 以下の表1に、第1実施例の諸元の値を掲げる。この表1において、 W は広角端状態、 M は中間焦点距離状態、 T は望遠端状態、 f は焦点距離、 F_N は F ナンバー、 2ω は画角、 T_L は全長をそれぞれ表している。ここで、全長 T_L は、無限遠合焦時のレンズ面の第1面から像面Iまでの光軸上の距離を表している。さらに、レンズデータの第1欄 m は、光線の進行する方向に沿った物体側からのレンズ面の順序（面番号）を、第2欄 r は、各レンズ面の曲率半径を、第3欄 d は、各光学面から次の光学面までの光軸上の距離（面間隔）を、第4欄 ν_d 及び第5欄 n_d は、 d 線 ($\lambda = 587.6 \text{ nm}$) に対するアッベ数及び屈折率を示している。また、曲率半径 0.0000 は平面を示し、空気の屈折率 1.00000 は省略してある。なお、表1に示す面番号 1～22 は、図1に示す番号 1～22 に対応している。また、レンズ群焦点距離は第1～第4レンズ群 G_1 ～ G_4 の各々の始面 S_T と焦点距離 f を示している。ここで、以下の全ての諸元値において掲載されている焦点距離 f 、曲率半径 r 、面間隔 d 、その他長さの単位は一般に「mm」が使われるが、光学系は、比例拡大または比例縮小しても同等の光学性能が得られるので、これに限られるものではない。また、これらの符号の説明及び諸元表の説明は以降の実施例においても同様である。

[0084]

(表1)

[全体諸元]

	W		M		T
f =	18.11	~	43.19	~	50.92
F N O =	3.62	~	5.12	~	5.72
2 ω =	79.5	~	36.33	~	31.1
T L =	127.96	~	121.45	~	125.27

[レンズデータ]

m	r	d	v d	n d
1	69.440	2.00	61.22	1.58913
2	15.900	0.17	38.09	1.55389
3*	13.749	10.00		
4	-284.727	1.50	50.84	1.65844
5	39.340	2.70		
6	31.807	2.80	23.78	1.84666
7	65.687	d7		
8	-169.197	2.00	58.54	1.61272
9	-33.549	1.00		
10	18.465	0.90	25.26	1.90200
11	13.324	0.40		
12	13.850	3.80	67.90	1.59319
13	205.700	d13		
14	0.000	1.50		開口絞り S
15	-66.540	2.60	25.45	1.80518
16	-13.193	0.80	37.18	1.83400
17	52.452	d17		
18	-110.104	2.80	70.31	1.48749

19	-17.370	0.10		
20	81.550	4.20	63.88	1.51680
21	-15.015	1.30	37.18	1.83400
22	-54.306	Bf		

[レンズ群焦点距離]

S	T	f
G 1	1	-25.74
G 2	8	27.22
G 3	15	-32.68
G 4	18	40.31

[0085] この第1実施例において、第3面は非球面形状に形成されている。次の表2に、非球面のデータ、すなわち、円錐定数 κ 及び各非球面定数A4～A10の値を示す。

(表2)

m	κ	A4	A6	A8	A10
3	-1.0	2.55993E-05	4.63315E-08	-2.47460E-11	6.32636E-13

[0086] この第1実施例において、第1レンズ群G1と第2レンズ群G2との軸上空気間隔d7、第2レンズ群G2と第3レンズ群G3とともに移動する開口絞りSとの軸上空気間隔d13、第3レンズ群G3と第4レンズ群G4との軸上空気間隔d17、及び、バックフォーカスBfは、変倍に際して変化する。次の表3に、無限遠合焦時の広角端状態W、中間焦点距離状態M、及び、望遠端状態Tの各焦点距離における可変間隔及びバックフォーカスBfの値を示す。なお、バックフォーカスBfは、最も像側のレンズ面(図1における第22面)から像面Iまでの光軸上の距離を表している。この説明は以

降の実施例においても同様である。

[0087]

(表3)

[可変間隔データ]

	W	M	T
f	18.11	43.19	50.92
d7	32.88	5.45	2.93
d13	2.87	10.64	12.40
d17	13.06	5.29	3.53
Bf	38.58	59.50	65.84

[0088] 次の表4に、この第1実施例における各条件式対応値を示す。なおこの表4において、f2は第2レンズ群G2の焦点距離を、f3は第3レンズ群G3の焦点距離を、f4は第4レンズ群G4の焦点距離を、f1g fは第1レンズ群G1の第1負レンズの焦点距離を、f1g rは第1レンズ群G1の正レンズの焦点距離を、D3wは広角端状態における第3レンズ群G3と第4レンズ群G4との空気間隔を、それぞれ表している。以上の符号の説明は以下の実施例においても同様である。

(表4)

- (1) $D_3 w / (-f_3) = 0.40$
- (2) $f_1 g r / (-f_1 g f) = 2.35$
- (3) $f_2 / (-f_3) = 0.83$
- (4) $f_2 / f_4 = 0.68$

[0089] このように、この第1実施例に係る変倍光学系ZL1は、上記条件式(1)～(4)を全て満足している。

[0090] この第1実施例の広角端状態での無限遠合焦状態の収差図を図2Aに示し

、中間焦点距離状態での無限遠合焦状態の収差図を図3に示し、望遠端状態での無限遠合焦状態の収差図を図4Aに示す。また、第1実施例の広角端状態での無限遠合焦状態において像ぶれ補正（防振レンズ群VLのシフト量=0.18）を行ったときのコマ収差図を図2Bに示し、望遠端状態での無限遠合焦状態において像ぶれ補正（防振レンズ群VLのシフト量=0.18）を行った時のコマ収差図を図4Bに示す。各収差図において、FNOはFナンバーを、Yは半画角に対する像高を、dはd線（ $\lambda = 587.6 \text{ nm}$ ）を、gはg線（ $\lambda = 435.6 \text{ nm}$ ）を、それぞれ示している。また、非点収差を示す収差図において実線はサジタル像面を示し、破線はメリディオナル像面を示している。この収差図の説明は以降の実施例においても同様である。各収差図から明らかなように、第1実施例では、広角端状態から望遠端状態までの各焦点距離状態において諸収差が良好に補正され、また手ぶれ補正時の収差変動も良好であり、優れた結像性能を有することがわかる。

[0091] [第2実施例]

図5は、第2実施例に係る変倍光学系ZL2の構成を示す図である。この図5に示す変倍光学系ZL2において、第1レンズ群G1は、物体側から順に、物体側に凸面を向けた負メニスカスレンズ形状の非球面負レンズL11、両凹レンズL12、及び、物体側に凸面を向けた正メニスカスレンズL13から構成されている。ここで、非球面負レンズL11は、像側のガラスレンズ面（第2面）に樹脂層を設け、その樹脂層の像側の面（第3面）が非球面形状に形成されている。第2レンズ群G2は、物体側から順に、物体側に凹面を向けた正メニスカスレンズL21、及び、物体側に凸面を向けた負メニスカスレンズL22と両凸レンズL23との接合レンズから構成されている。第3レンズ群G3は、物体側から順に、物体側に凹面を向けた正メニスカスレンズL31と両凹レンズL32との接合レンズから構成されている。第4レンズ群G4は、物体側から順に、物体側に凹面を向けた正メニスカスレンズL41、及び、両凸レンズL42と物体側に凹面を向けた負メニスカスレンズL43との接合レンズから構成されている。

- [0092] また、開口絞りSは、第2レンズ群G2と第3レンズ群G3との間（第3レンズ群G3の物体側の近傍）に配置され、広角端状態から望遠端状態への変倍に際して第3レンズ群G3とともに移動する。また、無限遠から近距離物体への合焦は、第1レンズ群G1を物体方向に繰り出す（移動させる）ことにより行う。
- [0093] また、像ぶれ補正（防振）は、第2レンズ群G2の正メニスカスレンズL21を防振レンズ群VLとし、この防振レンズ群VLを光軸と直交する方向の成分を含むように移動させることにより行う。この第2実施例の広角端状態においては、防振係数は0.65であり、焦点距離は10.30（mm）であるので、0.61°の回転ぶれを補正するための防振レンズ群VLの移動量は0.17（mm）である。また、この第2実施例の望遠端状態においては、防振係数は1.10であり、焦点距離は29.60（mm）であるので、0.36°の回転ぶれを補正するための防振レンズ群VLの移動量は0.17（mm）である。
- [0094] 以下の表5に、この第2実施例の諸元の値を掲げる。なお、表5に示す面番号1～21は、図5に示す番号1～21に対応している。

(表5)

[全体諸元]

	W	M	T
f =	10.30	~ 19.40	~ 29.60
FNO =	3.64	~ 4.53	~ 5.67
2ω =	80.2	~ 45.84	~ 30.7
TL =	68.73	~ 64.04	~ 67.33

[レンズデータ]

m	r	d	νd	n d
1	31.564	1.11	61.22	1.58913

2	8.825	0.09	38.09	1.55389
3*	7.604	5.72		
4	-70.851	0.83	63.88	1.51680
5	17.760	1.33		
6	16.239	1.67	25.64	1.78472
7	34.618	d7		
8	-230.613	1.08	61.22	1.58913
9	-22.997	0.56		
10	10.388	0.50	23.78	1.84666
11	6.916	2.16	60.71	1.56384
12	-116.864	d12		
13	0.000	0.83		開口絞り S
14	-40.668	1.44	25.45	1.80518
15	-6.308	0.44	37.18	1.83400
16	25.885	d16		
17	-102.429	1.55	70.31	1.48749
18	-10.217	0.06		
19	33.821	2.33	70.31	1.48749
20	-9.235	0.72	37.18	1.83400
21	-33.599	Bf		

[レンズ群焦点距離]

	S	T	f
G 1	1		-14.60
G 2	8		14.57
G 3	14		-17.43
G 4	17		21.82

[0095] この第2実施例において、第3面は非球面形状に形成されている。次の表6に、非球面のデータ、すなわち、円錐定数 κ 及び各非球面定数A4～A10の値を示す。

(表6)

m	κ	A4	A6	A8	A10
3	-1.0	1.69521E-04	8.82411E-07	-4.21030E-11	1.60414E-10

[0096] この第2実施例において、第1レンズ群G1と第2レンズ群G2との軸上空気間隔d7、第2レンズ群G2と第3レンズ群G3とともに移動する開口絞りSとの軸上空気間隔d12、第3レンズ群G3と第4レンズ群G4との軸上空気間隔d16、及び、バックフォーカスBfは、変倍に際して変化する。次の表7に、無限遠合焦時の広角端状態、中間焦点距離状態、及び、望遠端状態の各焦点距離における可変間隔及びバックフォーカスBfの値を示す。

[0097]

(表7)

[可変間隔データ]

	W	M	T
f	10.30	19.40	29.60
d7	17.11	4.64	0.59
d12	1.83	4.40	7.11
d16	7.36	4.79	2.08
Bf	20.00	27.79	35.11

[0098] 次の表8に、この第2実施例における各条件式対応値を示す。

(表8)

$$\begin{aligned}
 (1) \ D_3 w / (-f_3) &= 0.42 \\
 (2) \ f_1 g_r / (-f_1 g_f) &= 2.14 \\
 (3) \ f_2 / (-f_3) &= 0.84 \\
 (4) \ f_2 / f_4 &= 0.67
 \end{aligned}$$

[0099] このように、この第2実施例に係る変倍光学系ZL2は、上記条件式(1)～(4)を全て満足している。

[0100] この第2実施例の広角端状態での無限遠合焦状態の収差図を図6Aに示し、中間焦点距離状態での無限遠合焦状態の収差図を図7に示し、望遠端状態での無限遠合焦状態の収差図を図8Aに示す。また、第2実施例の広角端状態での無限遠合焦状態において像ぶれ補正（防振レンズ群VLのシフト量=0.17）を行ったときのコマ収差図を図6Bに示し、望遠端状態での無限遠合焦状態において像ぶれ補正（防振レンズ群VLのシフト量=0.17）を行った時のコマ収差図を図8Bに示す。各収差図から明らかなように、第2実施例では、広角端状態から望遠端状態までの各焦点距離状態において諸収差が良好に補正され、また手ぶれ補正時の収差変動も良好であり、優れた結像性能を有することがわかる。

[0101] [第3実施例]

図9は、第3実施例に係る変倍光学系ZL3の構成を示す図である。この図9に示す変倍光学系ZL3において、第1レンズ群G1は、物体側から順に、物体側に凸面を向けた負メニスカスレンズ形状の非球面負レンズL11、両凹レンズL12、及び、物体側に凸面を向けた正メニスカスレンズL13から構成されている。ここで、非球面負レンズL11は、像側のガラスレンズ面（第2面）に樹脂層を設け、その樹脂層の像側の面（第3面）が非球面形状に形成されている。第2レンズ群G2は、物体側から順に、物体側に凹面を向けた正メニスカスレンズL21、及び、物体側に凸面を向けた負メニスカスレンズL22と物体側に凸面を向けた正メニスカスレンズL23との接合レンズから構成されている。第3レンズ群G3は、物体側から順に、

物体側に凹面を向けた正メニスカスレンズL 3 1と両凹レンズL 3 2との接合レンズから構成されている。第4レンズ群G 4は、物体側から順に、物体側に凹面を向けた正メニスカスレンズL 4 1、及び、両凸レンズL 4 2と物体側に凹面を向けた負メニスカスレンズL 4 3との接合レンズから構成されている。

- [0102] また、開口絞りSは、第2レンズ群G 2と第3レンズ群G 3との間（第3レンズ群G 3の物体側の近傍）に配置され、広角端状態から望遠端状態への変倍に際して第3レンズ群G 3とともに移動する。また、無限遠から近距離物体への合焦は、第1レンズ群G 1を物体方向に繰り出す（移動させる）ことにより行う。
- [0103] また、像ぶれ補正（防振）は、第2レンズ群G 2の正メニスカスレンズL 2 1を防振レンズ群VLとし、この防振レンズ群VLを光軸と直交する方向の成分を含むように移動させることにより行う。この第3実施例の広角端状態においては、防振係数は0. 84であり、焦点距離は18. 50 (mm) であるので、0. 44° の回転ぶれを補正するための防振レンズ群VLの移動量は0. 17 (mm) である。また、この第3実施例の望遠端状態においては、防振係数は1. 45であり、焦点距離は53. 40 (mm) であるので、0. 26° の回転ぶれを補正するための防振レンズ群VLの移動量は0. 17 (mm) である。
- [0104] 以下の表9に、この第3実施例の諸元の値を掲げる。なお、表9に示す面番号1～21は、図9に示す番号1～21に対応している。

(表9)

[全体諸元]

	W	M	T
f =	18.50	~ 35.00	~ 53.40
FNO =	3.64	~ 4.58	~ 5.87
2ω =	78.2	~ 44.4	~ 29.7

T L = 127.58 ~ 119.94 ~ 122.39

[レンズデータ]

m	r	d	ν	d	n d
1	69.440	2.00	61.22		1.58913
2	15.900	0.17	38.09		1.55389
3*	13.749	10.00			
4	-284.727	1.50	50.84		1.65844
5	39.340	2.70			
6	31.807	2.80	23.78		1.84666
7	65.687	d7			
8	-823.405	2.00	58.54		1.61272
9	-36.990	1.00			
10	18.878	0.90	25.26		1.90200
11	12.630	3.80	58.54		1.61272
12	136.708	d12			
13	0.000	1.50			開口絞り S
14	-64.796	2.60	25.45		1.80518
15	-12.403	0.80	37.18		1.83400
16	52.452	d16			
17	-136.622	2.80	70.31		1.48749
18	-17.927	0.10			
19	90.259	4.20	63.88		1.51680
20	-15.399	1.30	37.18		1.83400
21	-54.3063	Bf			

[レンズ群焦点距離]

S T f

G 1	1	-25.74
G 2	8	26.90
G 3	14	-32.18
G 4	17	40.64

[0105] この第3実施例において、第3面は非球面形状に形成されている。次の表10に、非球面のデータ、すなわち、円錐定数 κ 及び各非球面定数 A4～A10 の値を示す。

(表10)

m	κ	A4	A6	A8	A10
3	-1.0	2.55993E-05	4.63315E-08	-2.47460E-11	6.32636E-13

[0106] この第3実施例において、第1レンズ群G1と第2レンズ群G2との軸上空気間隔d7、第2レンズ群G2と第3レンズ群G3とともに移動する開口絞りSとの軸上空気間隔d12、第3レンズ群G3と第4レンズ群G4との軸上空気間隔d16、及び、バックフォーカスBfは、変倍に際して変化する。次の表11に、無限遠合焦時の広角端状態、中間焦点距離状態、及び、望遠端状態の各焦点距離における可変間隔及びバックフォーカスBfの値を示す。

[0107]

(表11)

[可変間隔データ]

	W	M	T
f	18.50	35.00	53.40
d7	32.88	10.21	2.93
d12	2.87	7.53	12.40
d16	13.06	8.39	3.53

Bf	38.60	53.63	67.80
----	-------	-------	-------

[0108] 次の表12に、この第3実施例における各条件式対応値を示す。

(表12)

- | | |
|----------------------------|--------|
| (1) $D_3 w / (-f_3)$ | = 0.41 |
| (2) $f_1 g_r / (-f_1 g_f)$ | = 2.35 |
| (3) $f_2 / (-f_3)$ | = 0.84 |
| (4) f_2 / f_4 | = 0.66 |

[0109] このように、この第3実施例に係る変倍光学系ZL3は、上記条件式(1)～(4)を全て満足している。

[0110] この第3実施例の広角端状態での無限遠合焦状態の収差図を図10Aに示し、中間焦点距離状態での無限遠合焦状態の収差図を図11に示し、望遠端状態での無限遠合焦状態の収差図を図12Aに示す。また、第3実施例の広角端状態での無限遠合焦状態において像ぶれ補正（防振レンズ群VLのシフト量=0.17）を行ったときのコマ収差図を図10Bに示し、望遠端状態での無限遠合焦状態において像ぶれ補正（防振レンズ群VLのシフト量=0.17）を行った時のコマ収差図を図12Bに示す。各収差図から明らかなように、第3実施例では、広角端状態から望遠端状態までの各焦点距離状態において諸収差が良好に補正され、また手ぶれ補正時の収差変動も良好であり、優れた結像性能を有することがわかる。

[0111] [第4実施例]

図13は、第4実施例に係る変倍光学系ZL4の構成を示す図である。この図13に示す変倍光学系ZL4において、第1レンズ群G1は、物体側から順に、物体側に凸面を向けた負メニスカスレンズ形状の非球面負レンズL11、両凹レンズL12、及び、物体側に凸面を向けた正メニスカスレンズL13から構成されている。ここで、非球面負レンズL11は、像側のガラ

スレンズ面（第2面）に樹脂層を設け、その樹脂層の像側の面（第3面）が非球面形状に形成されている。第2レンズ群G2は、物体側から順に、物体側に凹面を向けた正メニスカスレンズL21、及び、物体側に凸面を向けた負メニスカスレンズL22と物体側に凸面を向けた正メニスカスレンズL23との接合レンズから構成されている。第3レンズ群G3は、物体側から順に、物体側に凹面を向けた正メニスカスレンズL31と両凹レンズL32との接合レンズから構成されている。第4レンズ群G4は、物体側から順に、両凸レンズL41、物体側に凸面を向けた負メニスカスレンズL42、物体側に凸面を向けた正メニスカスレンズL43、及び、両凸レンズL44から構成されている。

- [0112] また、開口絞りSは、第2レンズ群G2と第3レンズ群G3との間（第3レンズ群G3の物体側の近傍）に配置され、広角端状態から望遠端状態への変倍に際して第3レンズ群G3とともに移動する。また、無限遠から近距離物体への合焦は、第1レンズ群G1を物体方向に繰り出す（移動させる）ことにより行う。
- [0113] また、像ぶれ補正（防振）は、第2レンズ群G2の正メニスカスレンズL21を防振レンズ群VLとし、この防振レンズ群VLを光軸と直交する方向の成分を含むように移動させることにより行う。この第4実施例の広角端状態においては、防振係数は0.81であり、焦点距離は18.74（mm）であるので、0.45°の回転ぶれを補正するための防振レンズ群VLの移動量は0.18（mm）である。また、この第4実施例の望遠端状態においては、防振係数は1.38であり、焦点距離は53.15（mm）であるので、0.27°の回転ぶれを補正するための防振レンズ群VLの移動量は0.18（mm）である。
- [0114] 以下の表13に、この第4実施例の諸元の値を掲げる。なお、表13に示す面番号1～24は、図13に示す番号1～24に対応している。

(表13)

[全体諸元]

	W		M		T
f =	18.74	~	44.99	~	53.15
F N O =	3.47	~	5.15	~	6.12
2 ω =	78.0	~	34.9	~	29.7
T L =	127.97	~	122.70	~	123.10

[レンズデータ]

m	r	d	v d	n d
1	60.955	2.00	61.22	1.58913
2	14.479	0.17	38.09	1.55389
3*	14.004	10.00		
4	-189.528	1.50	50.84	1.65844
5	41.116	2.70		
6	32.479	2.80	23.78	1.84666
7	65.687	d7		
8	-471.246	2.00	58.54	1.61272
9	-36.768	1.00		
10	18.710	0.90	25.26	1.90200
11	12.572	3.80	58.54	1.61272
12	136.708	d12		
13	0.000	1.50		開口絞り S
14	-68.773	2.60	25.45	1.80518
15	-12.883	0.80	37.18	1.83400
16	52.452	d16		
17	130.964	2.00	70.31	1.48749
18	-28.695	0.10		
19	97.235	1.30	37.18	1.83400

20	18.752	0.30		
21	19.4416	3.00	63.88	1.51680
22	737.7872	0.30		
23	50.7898	1.80	63.88	1.51680
24	-142.991	Bf		

[レンズ群焦点距離]

S	T	f
G 1	1	-26.03
G 2	8	26.97
G 3	14	-33.06
G 4	17	41.33

[0115] この第4実施例において、第3面は非球面形状に形成されている。次の表14に、非球面のデータ、すなわち、円錐定数 κ 及び各非球面定数A4～A10の値を示す。

(表14)

m	κ	A4	A6	A8	A10
3	-1.0	2.55993E-05	4.63315E-08	-2.47460E-11	6.32636E-13

[0116] この第4実施例において、第1レンズ群G1と第2レンズ群G2との軸上空気間隔d7、第2レンズ群G2と第3レンズ群G3とともに移動する開口絞りSとの軸上空気間隔d12、第3レンズ群G3と第4レンズ群G4との軸上空気間隔d16、及び、バックフォーカスBfは、変倍に際して変化する。次の表15に、無限遠合焦時の広角端状態、中間焦点距離状態、及び、望遠端状態の各焦点距離における可変間隔及びバックフォーカスBfの値を示す。

[0117]

(表15)

[可変間隔データ]

	W	M	T
f	18.74	44.99	53.15
d7	32.88	5.45	2.93
d12	2.87	10.64	12.40
d16	13.06	5.29	3.53
Bf	38.59	60.76	67.54

[0118] 次の表16に、この第4実施例における各条件式対応値を示す。

(表16)

- (1) $D_3 w / (-f_3) = 0.40$
- (2) $f_1 g_r / (-f_1 g_f) = 2.32$
- (3) $f_2 / (-f_3) = 0.82$
- (4) $f_2 / f_4 = 0.65$

[0119] このように、この第4実施例に係る変倍光学系ZL4は、上記条件式(1)～(4)を全て満足している。

[0120] この第4実施例の広角端状態での無限遠合焦状態の収差図を図14Aに示し、中間焦点距離状態での無限遠合焦状態の収差図を図15に示し、望遠端状態での無限遠合焦状態の収差図を図16Aに示す。また、第4実施例の広角端状態での無限遠合焦状態において像ぶれ補正（防振レンズ群VLのシフト量=0.18）を行ったときのコマ収差図を図14Bに示し、望遠端状態での無限遠合焦状態において像ぶれ補正（防振レンズ群VLのシフト量=0.18）を行った時のコマ収差図を図16Bに示す。各収差図から明らかなように、第4実施例では、広角端状態から望遠端状態までの各焦点距離状態において

諸収差が良好に補正され、また手ぶれ補正時の収差変動も良好であり、優れた結像性能を有することがわかる。

請求の範囲

- [請求項1] 物体側から順に、
 負の屈折力を有する第1レンズ群と、
 正の屈折力を有する第2レンズ群と、
 負の屈折力を有する第3レンズ群と、
 正の屈折力を有する第4レンズ群と、を有し、
 広角端状態から望遠端状態に変倍する際に、前記第1レンズ群と前記第2レンズ群との間隔が変化し、前記第2レンズ群と前記第3レンズ群との間隔が変化し、前記第3レンズ群と前記第4レンズ群との間隔が変化し、
 前記第2レンズ群のうちの少なくとも一枚の単レンズは、光軸と直交する方向の成分を含むように移動する防振レンズ群であり、
 次式の条件を満足することを特徴とする変倍光学系。
- $$0.35 < D_{3w} / (-f_3) < 0.45$$
- 但し、
 D_{3w} ：広角端状態における前記第3レンズ群と前記第4レンズ群との空気間隔
 f_3 ：前記第3レンズ群の焦点距離
- [請求項2] 前記第1レンズ群は、最も物体側に第1負レンズを有し、最も像側に正レンズを有することを特徴とする請求項1に記載の変倍光学系。
- [請求項3] 次式の条件を満足することを特徴とする請求項2に記載の変倍光学系。
- $$2.10 < f_{1gr} / (-f_{1gf}) < 3.00$$
- 但し、
 f_{1gf} ：前記第1負レンズの焦点距離
 f_{1gr} ：前記正レンズの焦点距離
- [請求項4] 前記第1レンズ群は、前記第1負レンズと前記正レンズとの間に少なくとも一枚の負レンズを有することを特徴とする請求項2に記載の

変倍光学系。

[請求項5] 前記第1レンズ群は、物体側から順に、前記第1負レンズ、第2負レンズ及び前記正レンズからなることを特徴とする請求項1に記載の変倍光学系。

[請求項6] 次式の条件を満足することを特徴とする請求項1に記載の変倍光学系。

$$0.81 < f_2 / (-f_3) < 1.00$$

但し、

f_2 ：前記第2レンズ群の焦点距離

f_3 ：前記第3レンズ群の焦点距離

[請求項7] 前記第3レンズ群の近傍に開口絞りを有することを特徴とする請求項1に記載の変倍光学系。

[請求項8] 次式の条件を満足することを特徴とする請求項1に記載の変倍光学系。

$$0.60 < f_2 / f_4 < 0.70$$

但し、

f_2 ：前記第2レンズ群の焦点距離

f_4 ：前記第4レンズ群の焦点距離

[請求項9] 前記第1レンズ群のうち、最も物体側のレンズは非球面を有することを特徴とする請求項1に記載の変倍光学系。

[請求項10] 前記第3レンズ群は、正レンズと負レンズとを貼り合わせた接合レンズであることを特徴とする請求項1に記載の変倍光学系。

[請求項11] 広角端状態から望遠端状態に変倍する際に、前記第2レンズ群と前記第3レンズ群との間隔が増大し、前記第3レンズ群と前記第4レンズ群との間隔が減少することを特徴とする請求項1に記載の変倍光学系。

[請求項12] 前記第2レンズ群、前記第3レンズ群及び前記第4レンズ群は、全てのレンズが球面レンズで構成されていることを特徴とする請求項1

に記載の変倍光学系。

[請求項13] 物体の像を所定の像面上に結像させる請求項1に記載の変倍光学系を有することを特徴とする光学装置。

[請求項14] 物体側から順に、
負の屈折力を有する第1レンズ群と、
正の屈折力を有する第2レンズ群と、
負の屈折力を有する第3レンズ群と、
正の屈折力を有する第4レンズ群と、を有し、
広角端状態から望遠端状態に変倍する際に、前記第1レンズ群と前記第2レンズ群との間隔が変化し、前記第2レンズ群と前記第3レンズ群との間隔が変化し、前記第3レンズ群と前記第4レンズ群との間隔が変化し、

前記第2レンズ群のうちの少なくとも一枚の単レンズは、光軸と直交する方向の成分を含むように移動する防振レンズ群であり、

前記第1レンズ群は、最も物体側に第1負レンズを有し、最も像側に正レンズを有し、次式の条件を満足することを特徴とする変倍光学系。

$$2.10 < f_{1g}r / (-f_{1gf}) < 3.00$$

但し、

f_{1gf} ：前記第1負レンズの焦点距離

f_{1gr} ：前記正レンズの焦点距離

[請求項15] 次式の条件を満足することを特徴とする請求項14に記載の変倍光学系。

$$0.81 < f_2 / (-f_3) < 1.00$$

但し、

f_2 ：前記第2レンズ群の焦点距離

f_3 ：前記第3レンズ群の焦点距離

[請求項16] 次式の条件を満足することを特徴とする請求項14に記載の変倍光

学系。

$$0.60 < f_2/f_4 < 0.70$$

但し、

f_2 ：前記第2レンズ群の焦点距離

f_4 ：前記第4レンズ群の焦点距離

[請求項17] 物体の像を所定の像面上に結像させる請求項14に記載の変倍光学系を有することを特徴とする光学装置。

[請求項18] 物体側から順に、

負の屈折力を有する第1レンズ群と、

正の屈折力を有する第2レンズ群と、

負の屈折力を有する第3レンズ群と、

正の屈折力を有する第4レンズ群と、を有し、

広角端状態から望遠端状態に変倍する際に、前記第1レンズ群と前記第2レンズ群との間隔が変化し、前記第2レンズ群と前記第3レンズ群との間隔が変化し、前記第3レンズ群と前記第4レンズ群との間隔が変化し、

前記第2レンズ群のうちの少なくとも一枚の単レンズは、光軸と直交する方向の成分を含むように移動する防振レンズ群であり、次式の条件を満足することを特徴とする変倍光学系。

$$0.81 < f_2/(-f_3) < 1.00$$

但し、

f_2 ：前記第2レンズ群の焦点距離

f_3 ：前記第3レンズ群の焦点距離

[請求項19] 次式の条件を満足することを特徴とする請求項18に記載の変倍光学系。

$$0.60 < f_2/f_4 < 0.70$$

但し、

f_2 ：前記第2レンズ群の焦点距離

f_4 : 前記第4レンズ群の焦点距離

[請求項20] 物体の像を所定の像面上に結像させる請求項18に記載の変倍光学系を有することを特徴とする光学装置。

[請求項21] 物体側から順に、負の屈折力を有する第1レンズ群と、正の屈折力を有する第2レンズ群と、負の屈折力を有する第3レンズ群と、正の屈折力を有する第4レンズ群と、を有する変倍光学系の製造方法であって、

前記第1レンズ群、前記第2レンズ群、前記第3レンズ群及び前記第4レンズ群を、広角端状態から望遠端状態に変倍する際に、前記第1レンズ群と前記第2レンズ群との間隔が変化し、前記第2レンズ群と前記第3レンズ群との間隔が変化し、前記第3レンズ群と前記第4レンズ群との間隔が変化するように配置し、

前記第2レンズ群のうちの少なくとも一枚の単レンズを、光軸と直交する方向の成分を含むように移動する防振レンズ群として配置し、

前記第3レンズ群及び前記第4レンズ群を、次式の条件を満足するように配置することを特徴とする変倍光学系の製造方法。

$$0.35 < D_{3w} / (-f_3) < 0.45$$

但し、

D_{3w} : 広角端状態における前記第3レンズ群と前記第4レンズ群との空気間隔

f_3 : 前記第3レンズ群の焦点距離

[請求項22] 前記第1レンズ群は、最も物体側に第1負レンズを有し、最も像側に正レンズを有することを特徴とする請求項21に記載の変倍光学系の製造方法。

[請求項23] 次式の条件を満足するように前記第1レンズ群を配置することを特徴とする請求項22に記載の変倍光学系の製造方法。

$$2.10 < f_{1gr} / (-f_{1gf}) < 3.00$$

但し、

$f_{1g f}$: 前記第1負レンズの焦点距離

$f_{1g r}$: 前記正レンズの焦点距離

[請求項24] 次式の条件を満足するように前記第2レンズ群と前記第3レンズ群とを配置することを特徴とする請求項21に記載の変倍光学系の製造方法。

$$0.81 < f_2 / (-f_3) < 1.00$$

但し、

f_2 : 前記第2レンズ群の焦点距離

f_3 : 前記第3レンズ群の焦点距離

[請求項25] 次式の条件を満足するように前記第2レンズ群と前記第4レンズ群とを配置することを特徴とする請求項21に記載の変倍光学系。

$$0.60 < f_2 / f_4 < 0.70$$

但し、

f_2 : 前記第2レンズ群の焦点距離

f_4 : 前記第4レンズ群の焦点距離

[請求項26] 物体側から順に、負の屈折力を有する第1レンズ群と、正の屈折力を有する第2レンズ群と、負の屈折力を有する第3レンズ群と、正の屈折力を有する第4レンズ群と、を有する変倍光学系の製造方法であって、

前記第1レンズ群、前記第2レンズ群、前記第3レンズ群及び前記第4レンズ群を、広角端状態から望遠端状態に変倍する際に、前記第1レンズ群と前記第2レンズ群との間隔が変化し、前記第2レンズ群と前記第3レンズ群との間隔が変化し、前記第3レンズ群と前記第4レンズ群との間隔が変化するように配置し、

前記第2レンズ群のうちの少なくとも一枚の単レンズを、光軸と直交する方向の成分を含むように移動する防振レンズ群として配置し、

前記第1レンズ群に、次式の条件を満足するように、最も物体側に第1負レンズを配置し、最も像側に正レンズを配置することを特徴と

する変倍光学系の製造方法。

$$2.10 < f_1 g_r / (-f_1 g_f) < 3.00$$

但し、

$f_1 g_f$ ：前記第1負レンズの焦点距離

$f_1 g_r$ ：前記正レンズの焦点距離

[請求項27]

物体側から順に、負の屈折力を有する第1レンズ群と、正の屈折力を有する第2レンズ群と、負の屈折力を有する第3レンズ群と、正の屈折力を有する第4レンズ群と、を有する変倍光学系の製造方法であって、

前記第1レンズ群、前記第2レンズ群、前記第3レンズ群及び前記第4レンズ群を、広角端状態から望遠端状態に変倍する際に、前記第1レンズ群と前記第2レンズ群との間隔が変化し、前記第2レンズ群と前記第3レンズ群との間隔が変化し、前記第3レンズ群と前記第4レンズ群との間隔が変化するように配置し、

前記第2レンズ群のうちの少なくとも一枚の単レンズを、光軸と直交する方向の成分を含むように移動する防振レンズ群として配置し、

前記第2レンズ群及び前記第3レンズ群を、次式の条件を満足するように配置することを特徴とする変倍光学系の製造方法。

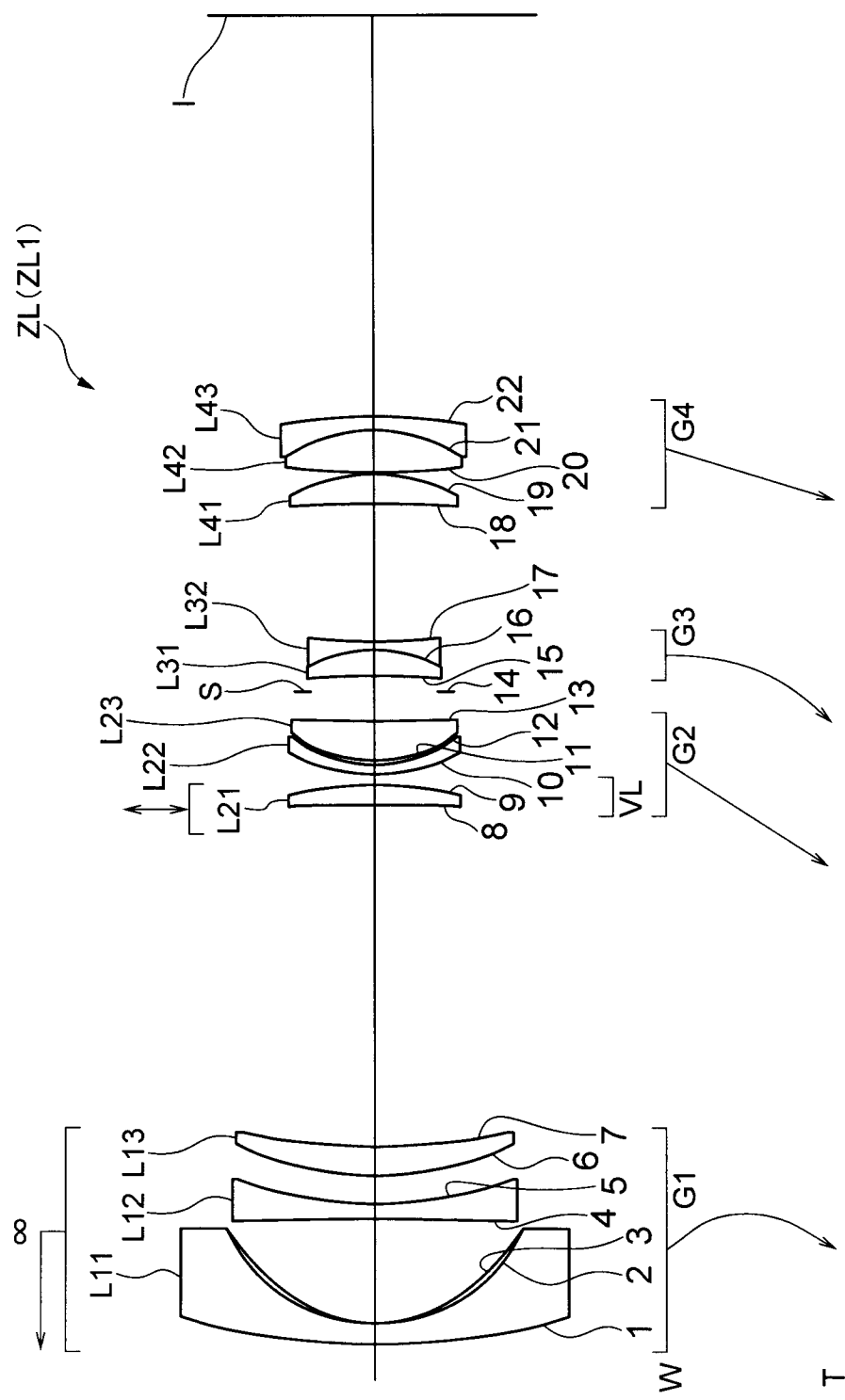
$$0.81 < f_2 / (-f_3) < 1.00$$

但し、

f_2 ：第2レンズ群の焦点距離

f_3 ：第3レンズ群の焦点距離

[図1]



[図2]

図2A

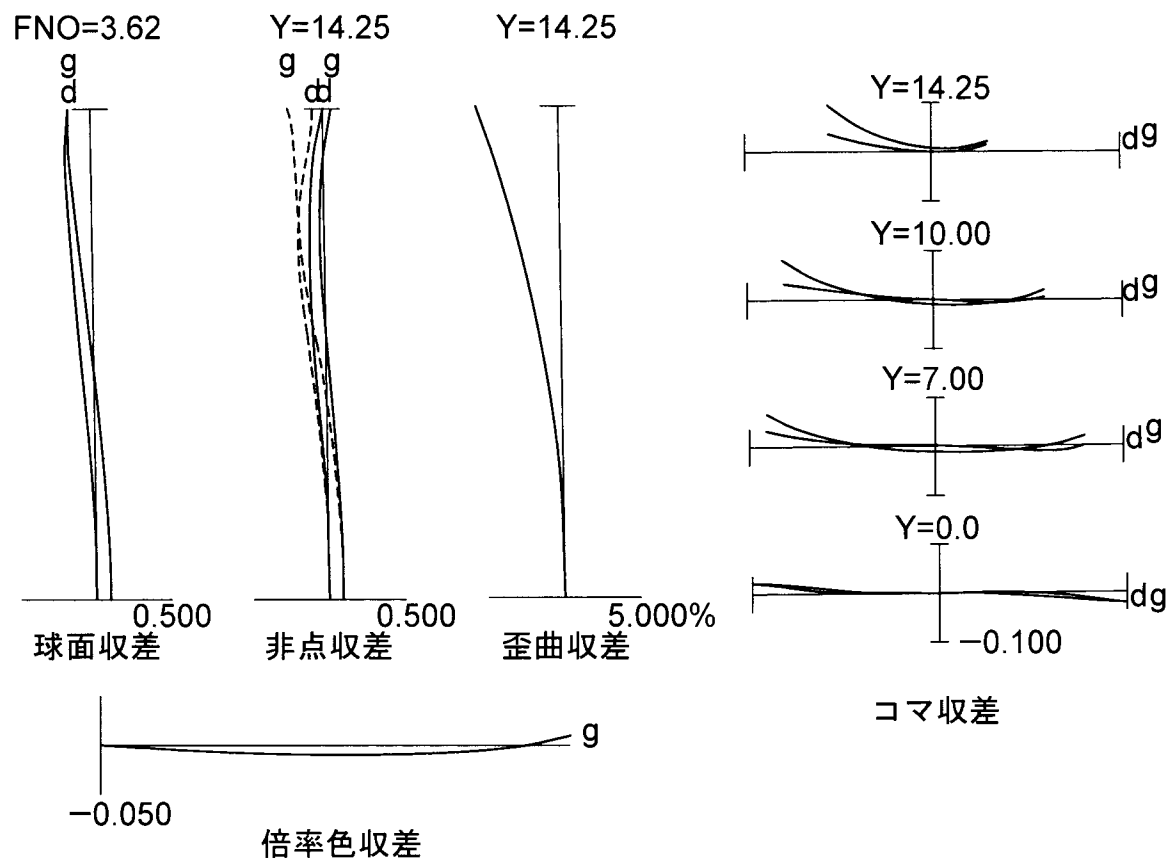
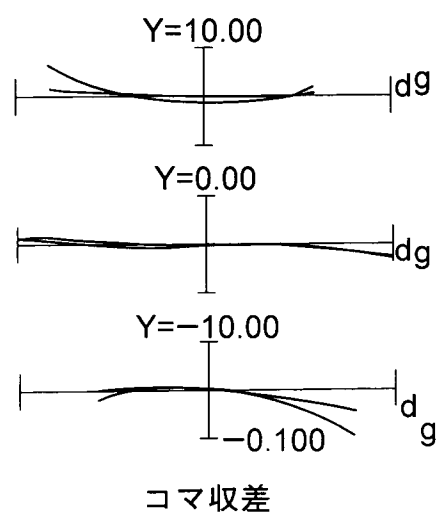
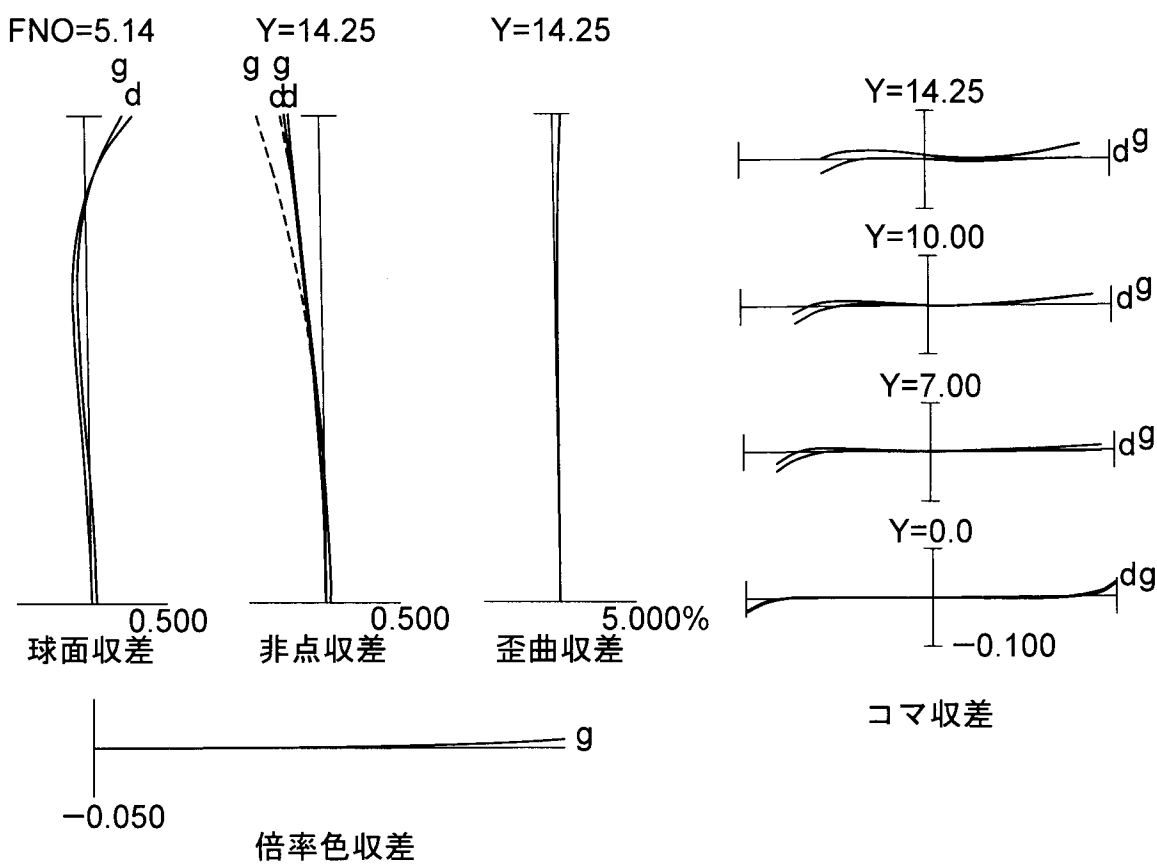


図2B



[図3]



[図4]

図4A

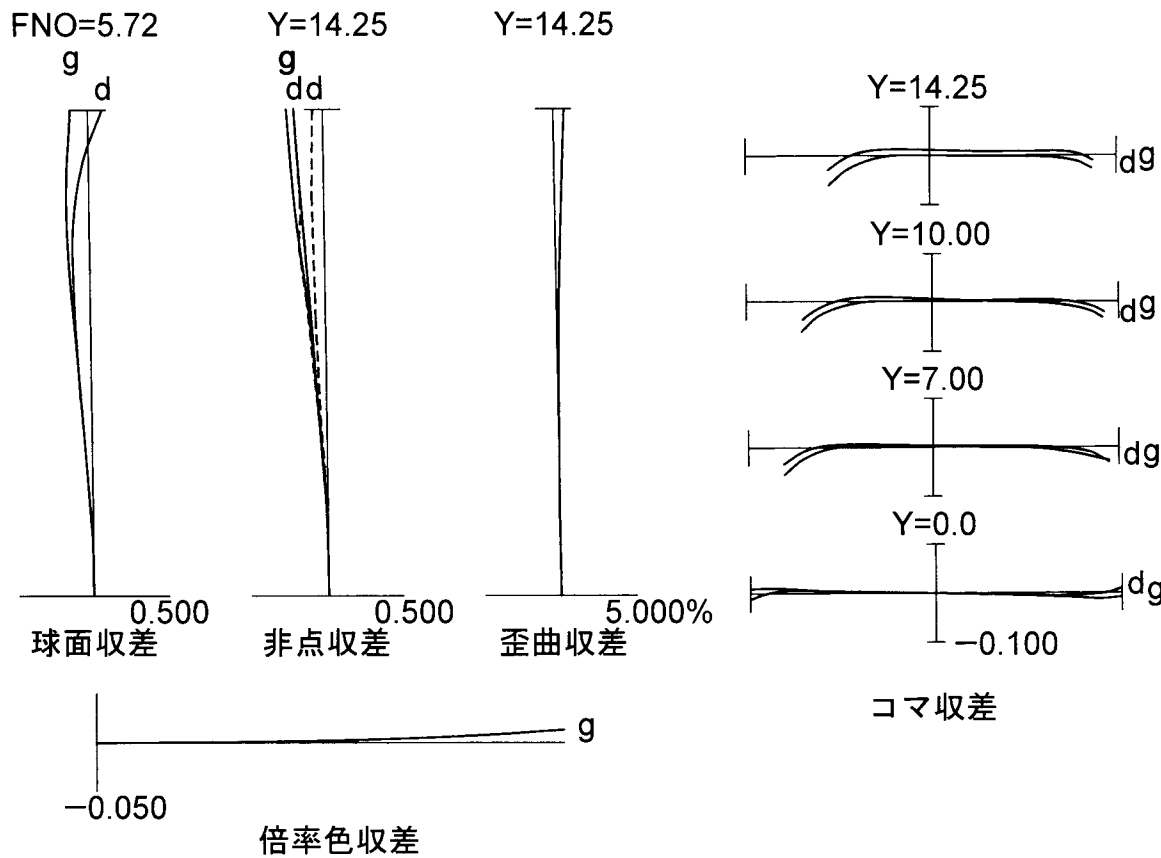
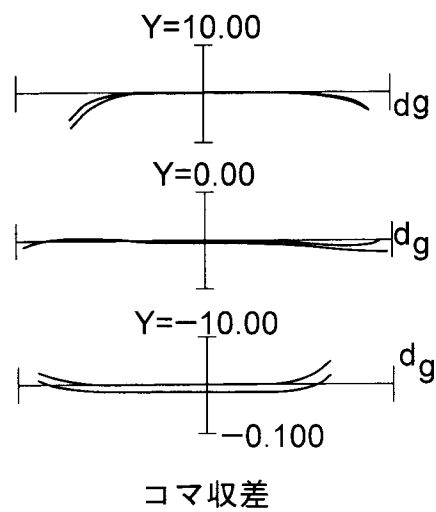
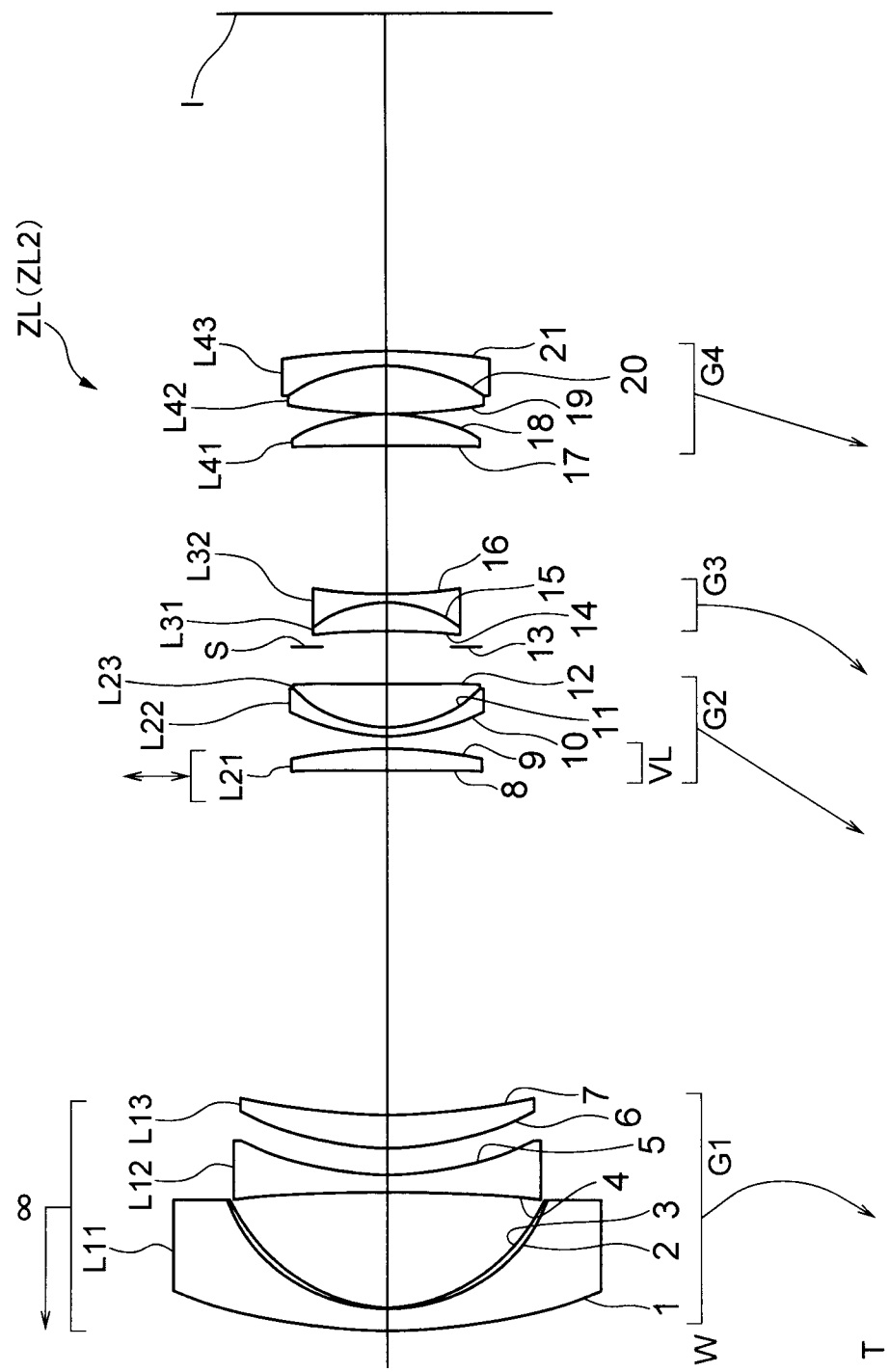


図4B



[図5]



[図6]

図6A

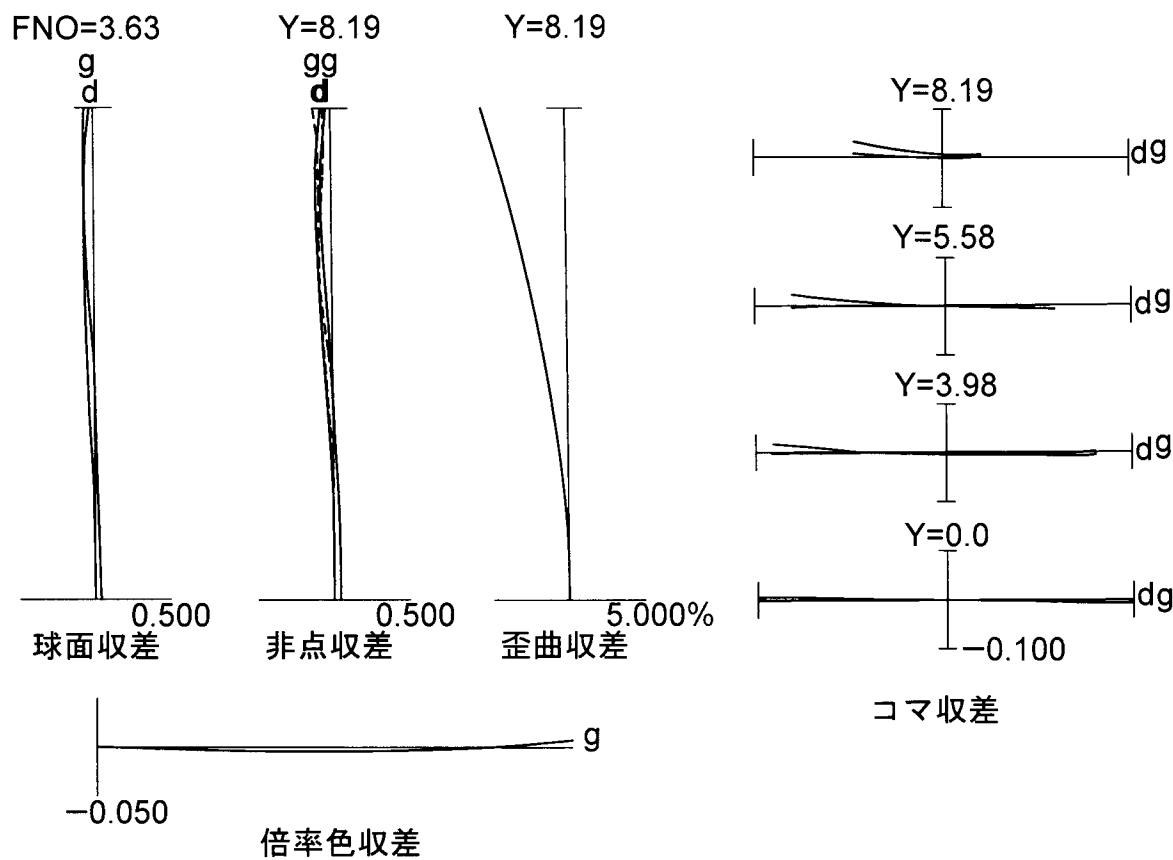
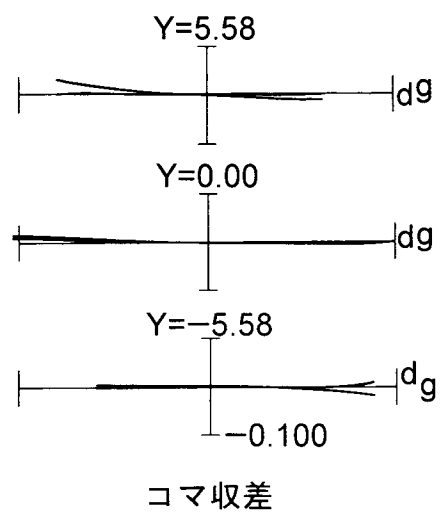
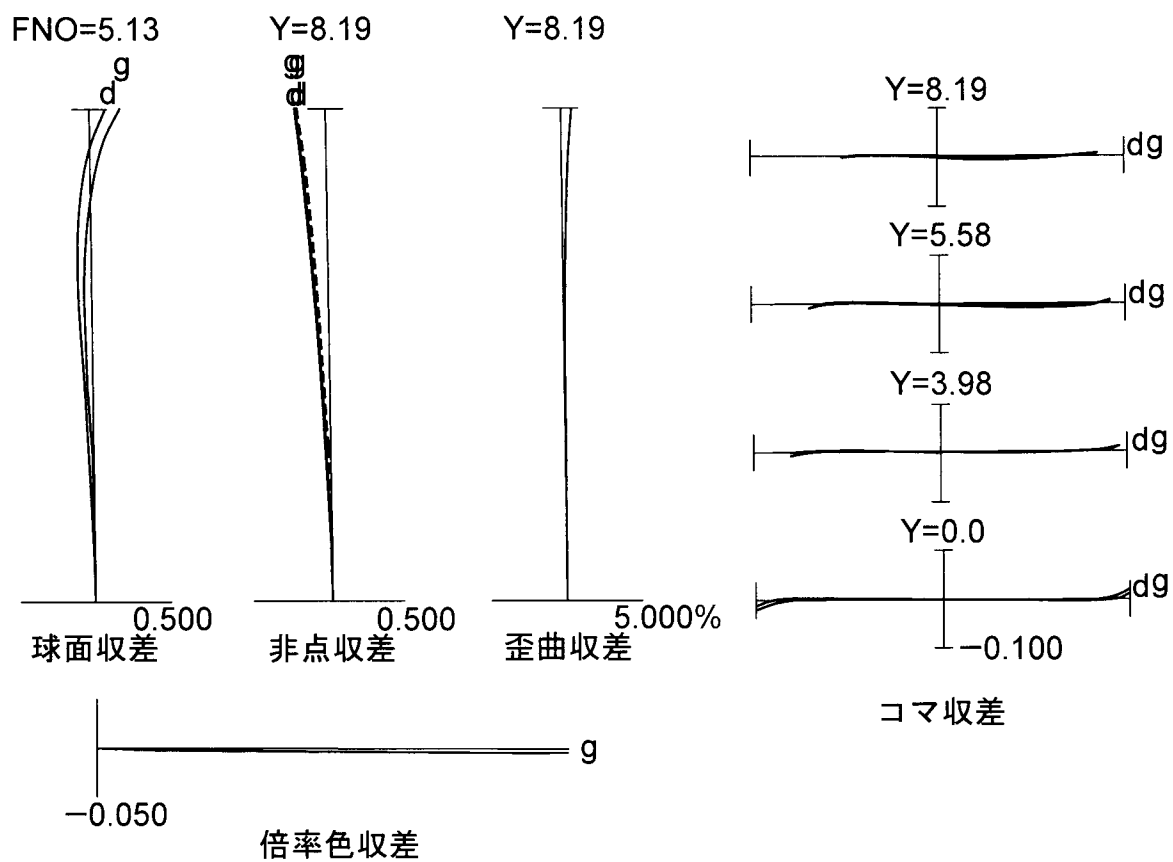


図6B



[図7]



[図8]

図8A

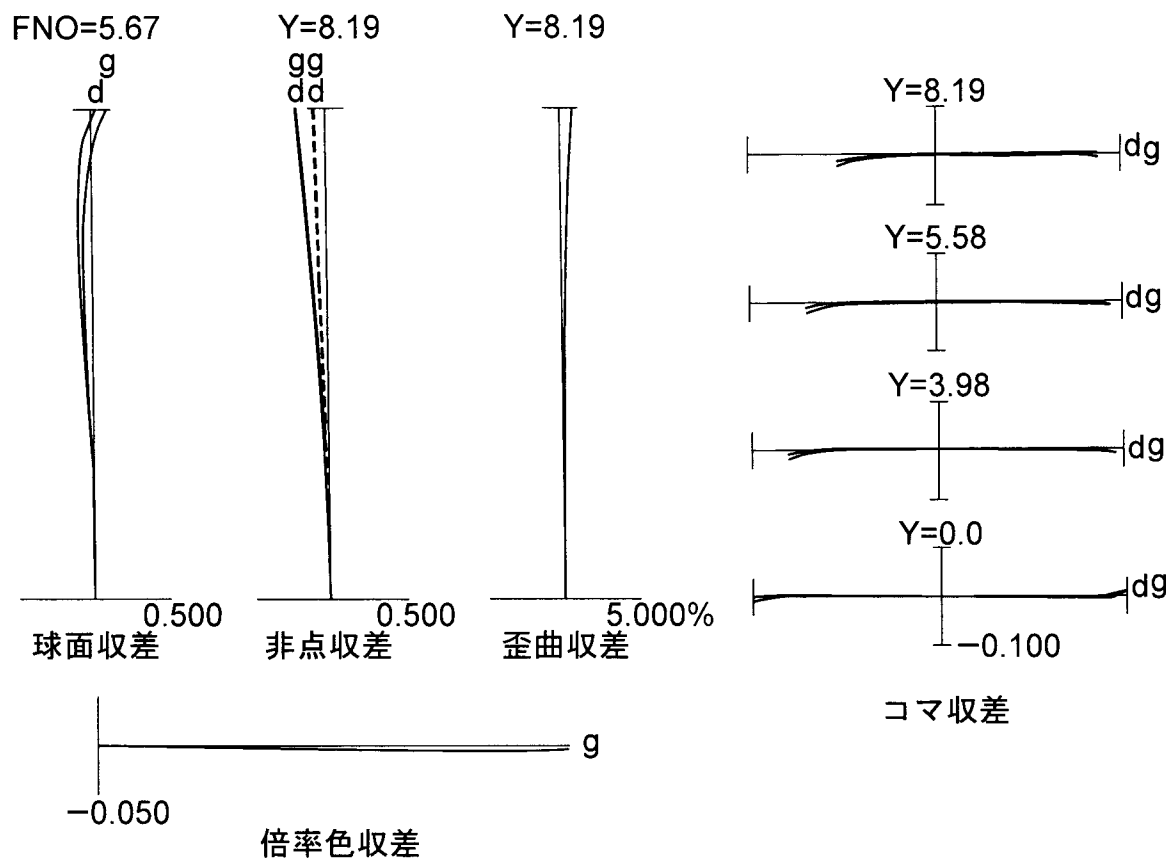
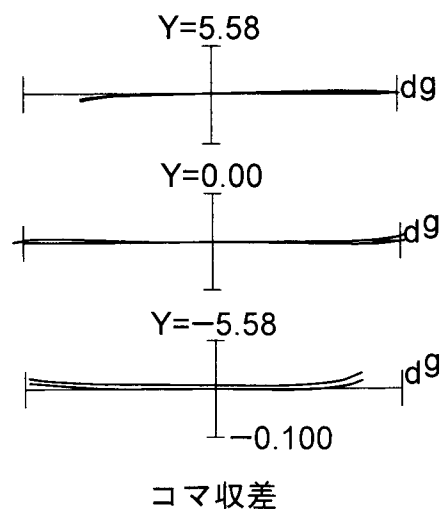
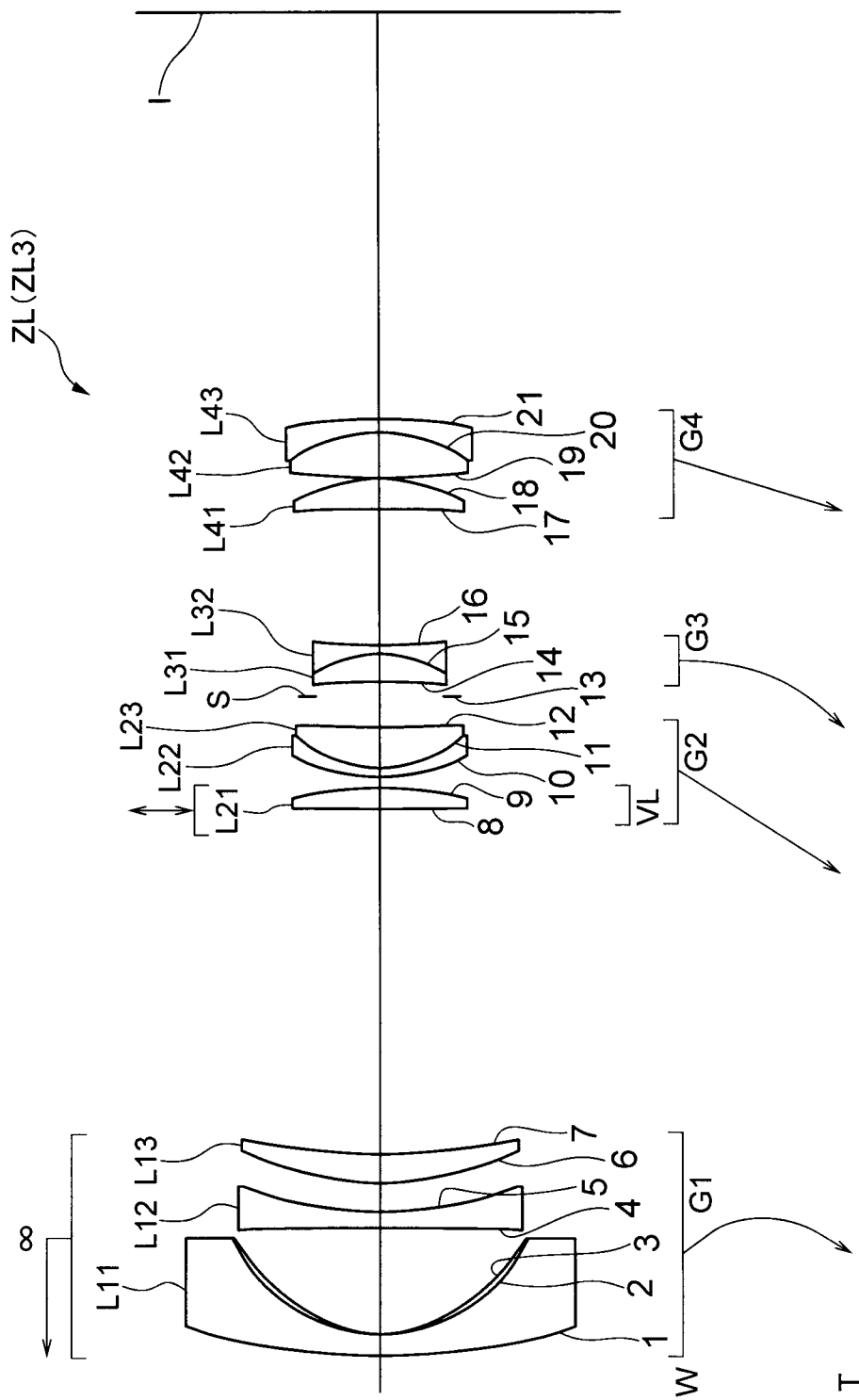


図8B



[図9]



[図10]

図10A

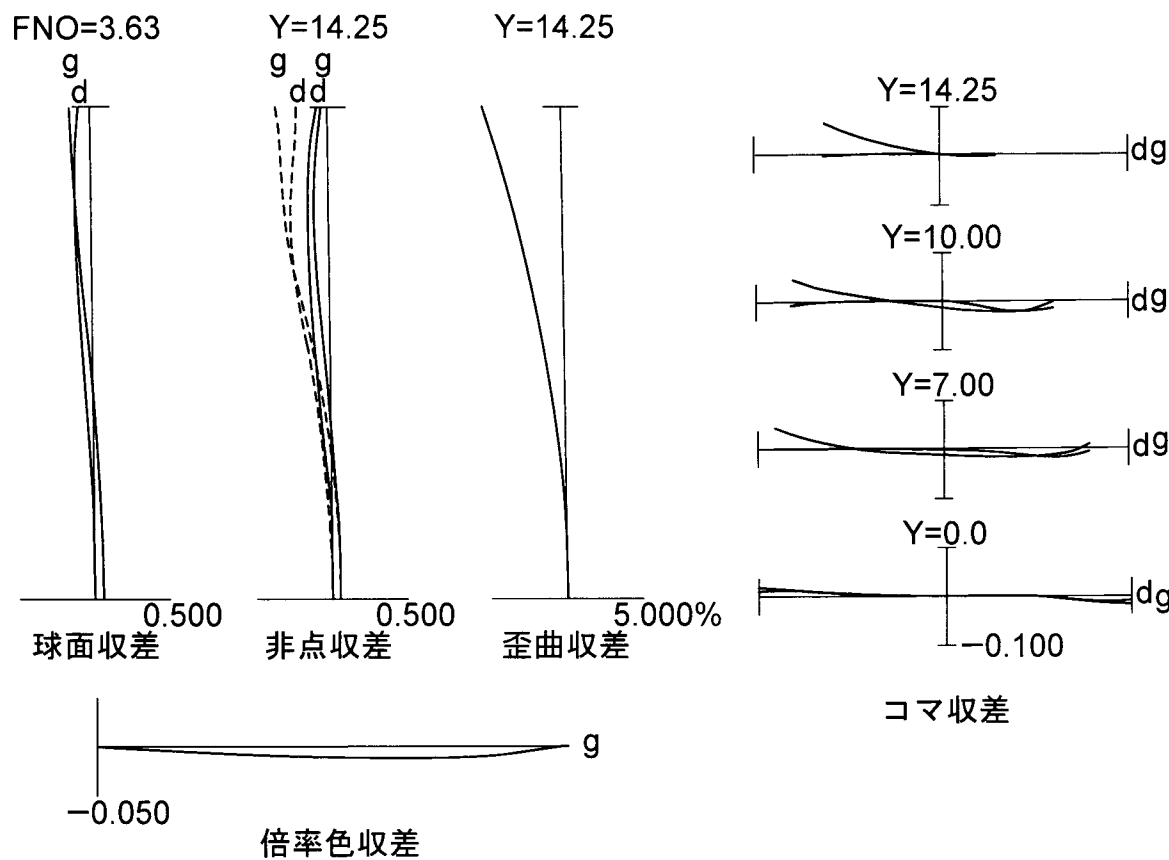
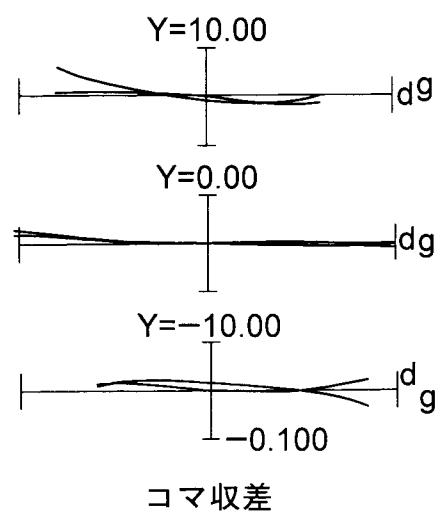
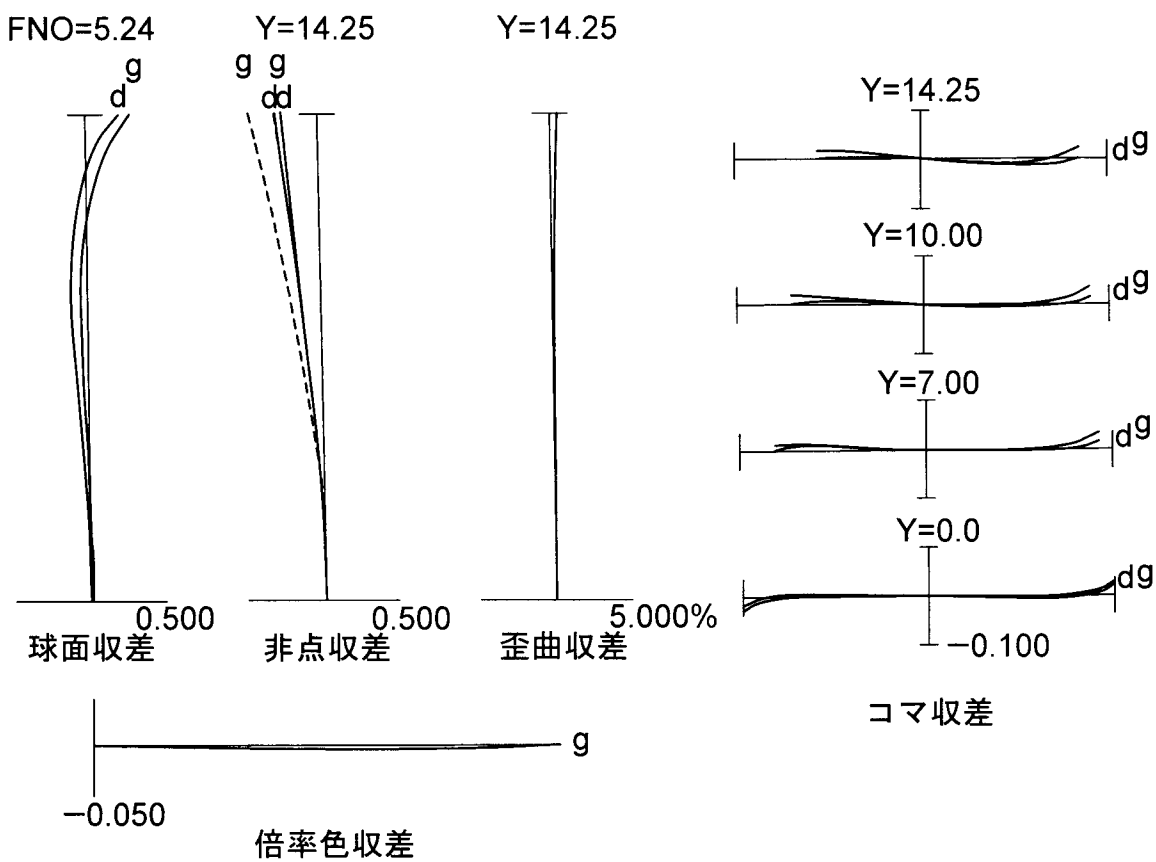


図10B



[図11]



[図12]

図12A

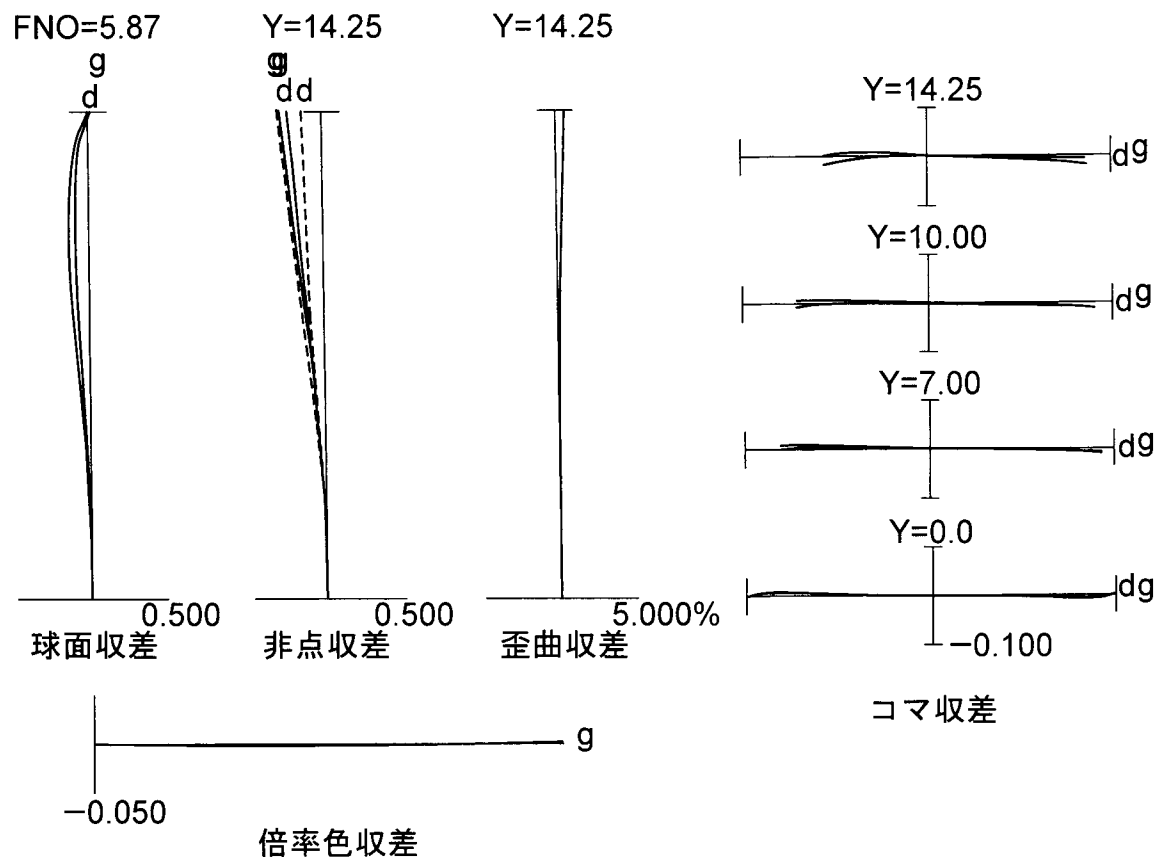
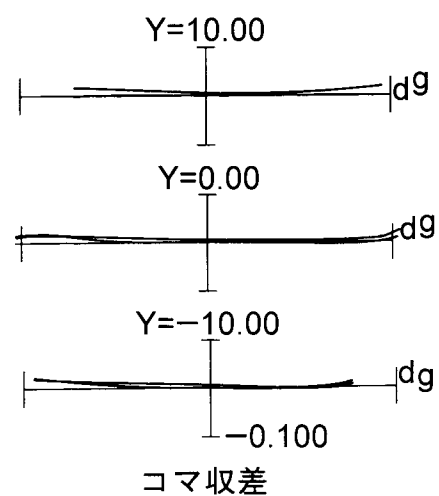
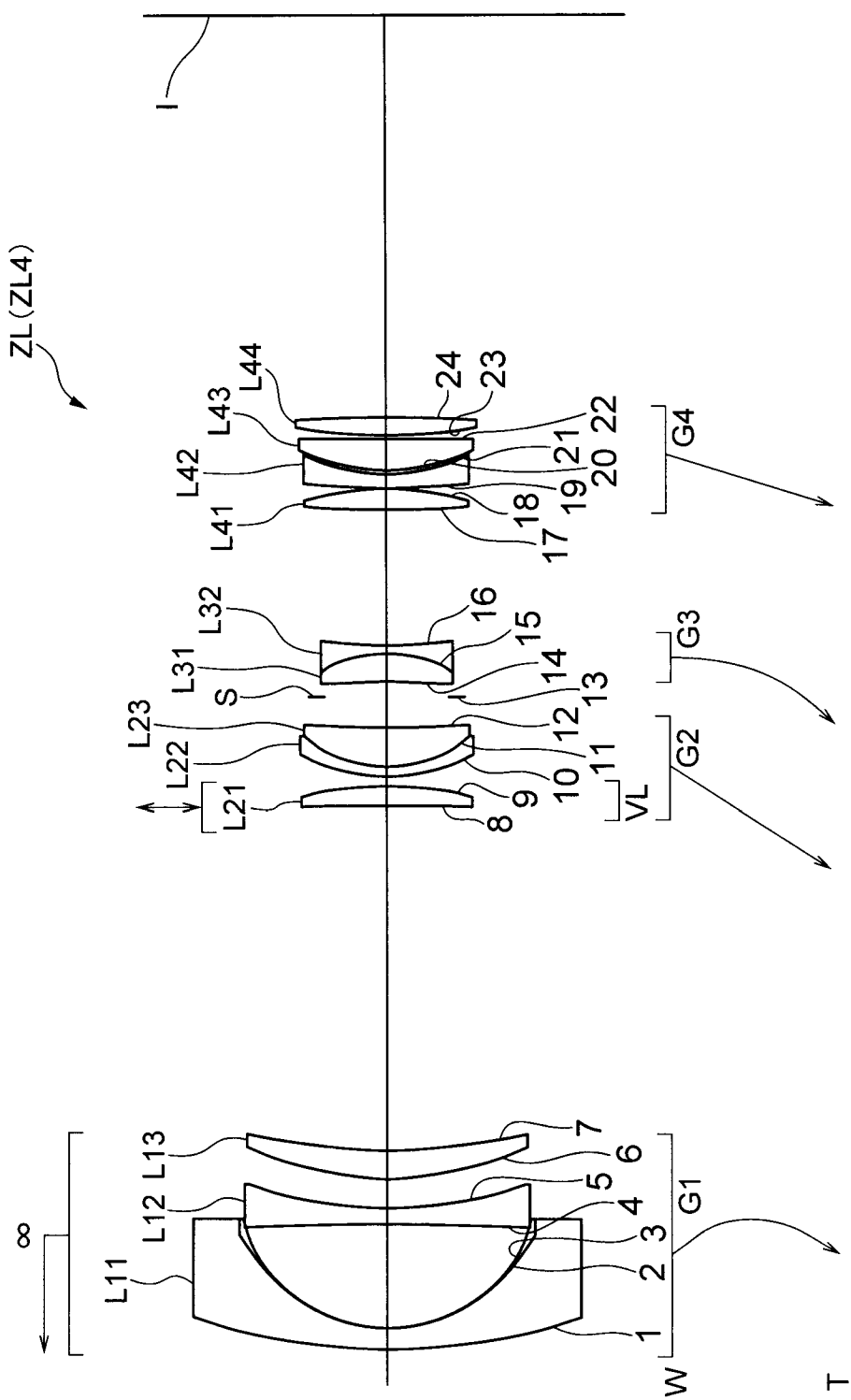


図12B



[図13]



[図14]

図14A

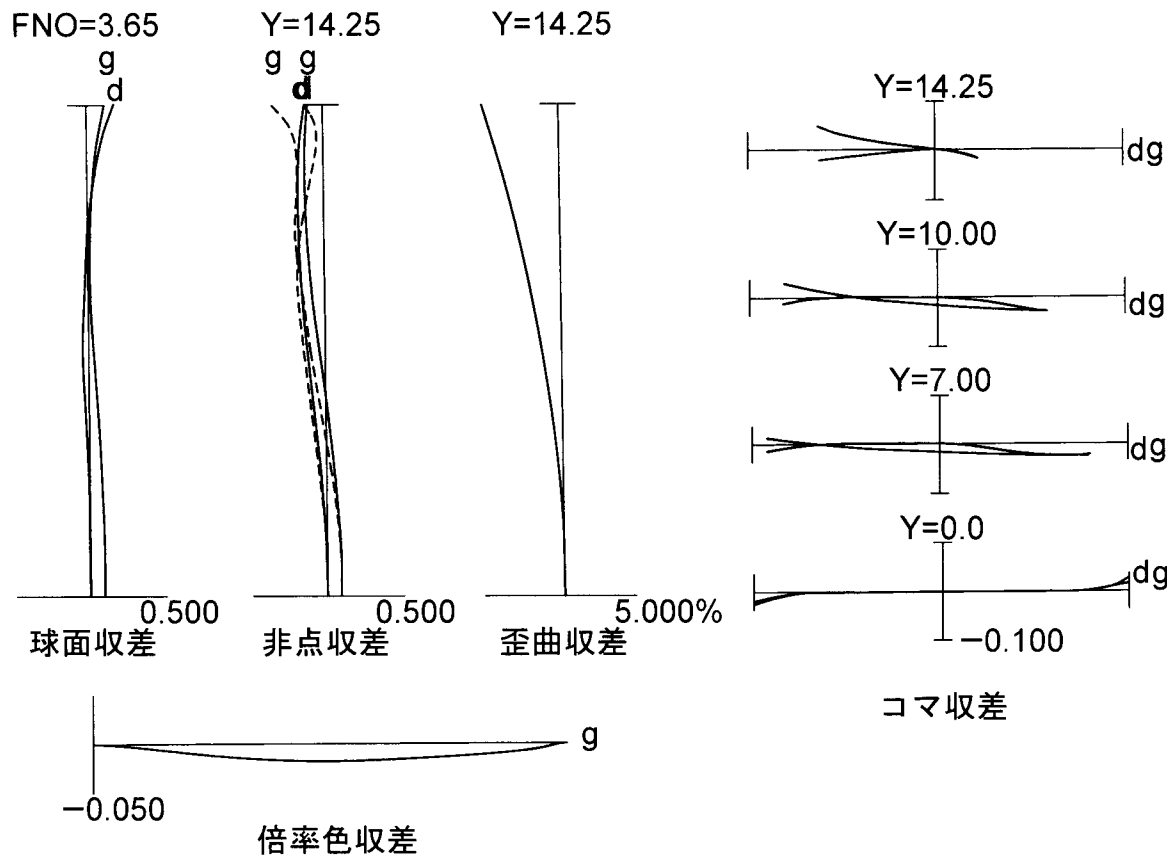
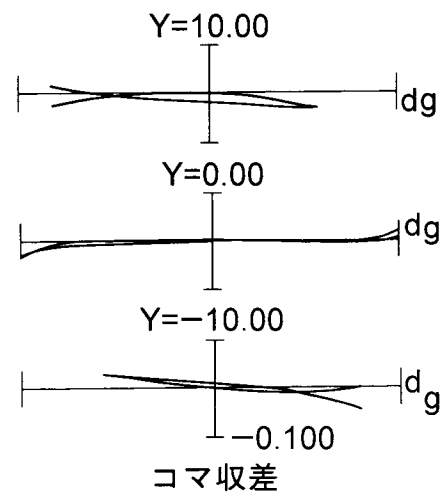
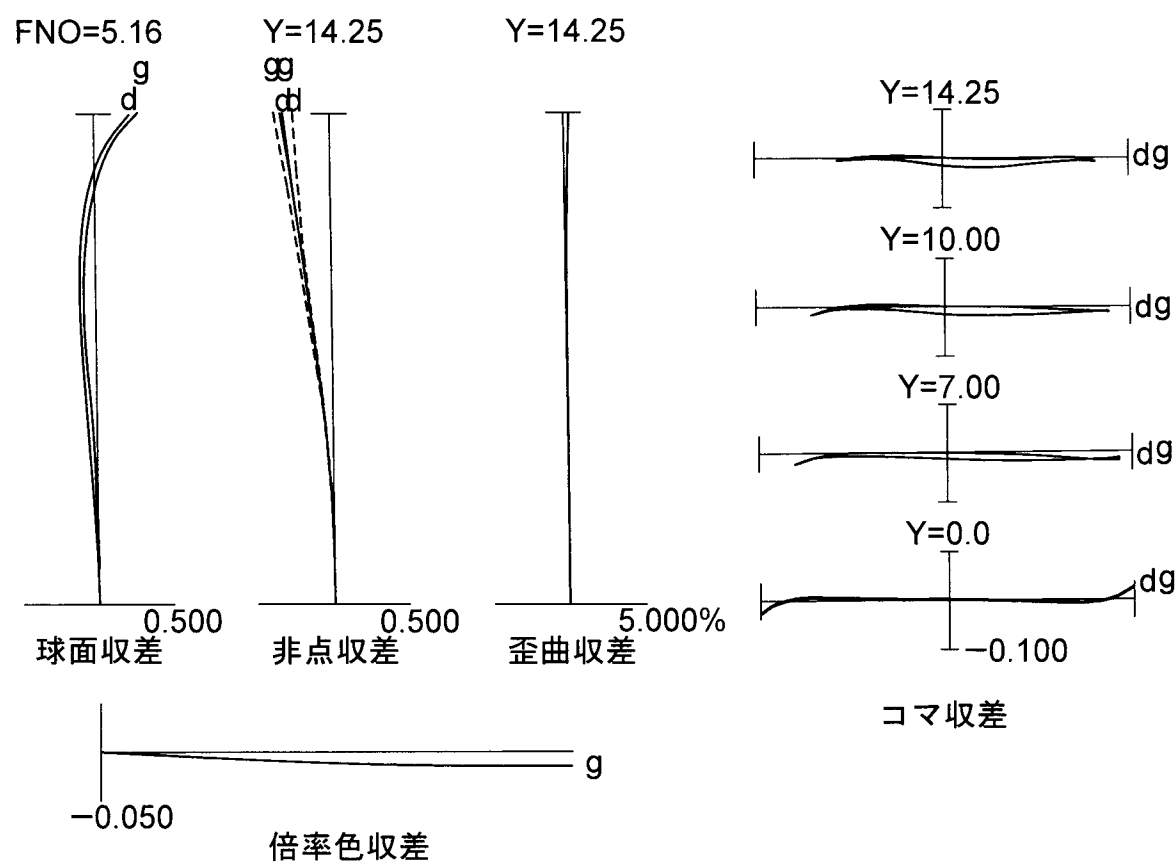


図14B



[図15]



[図16]

図16A

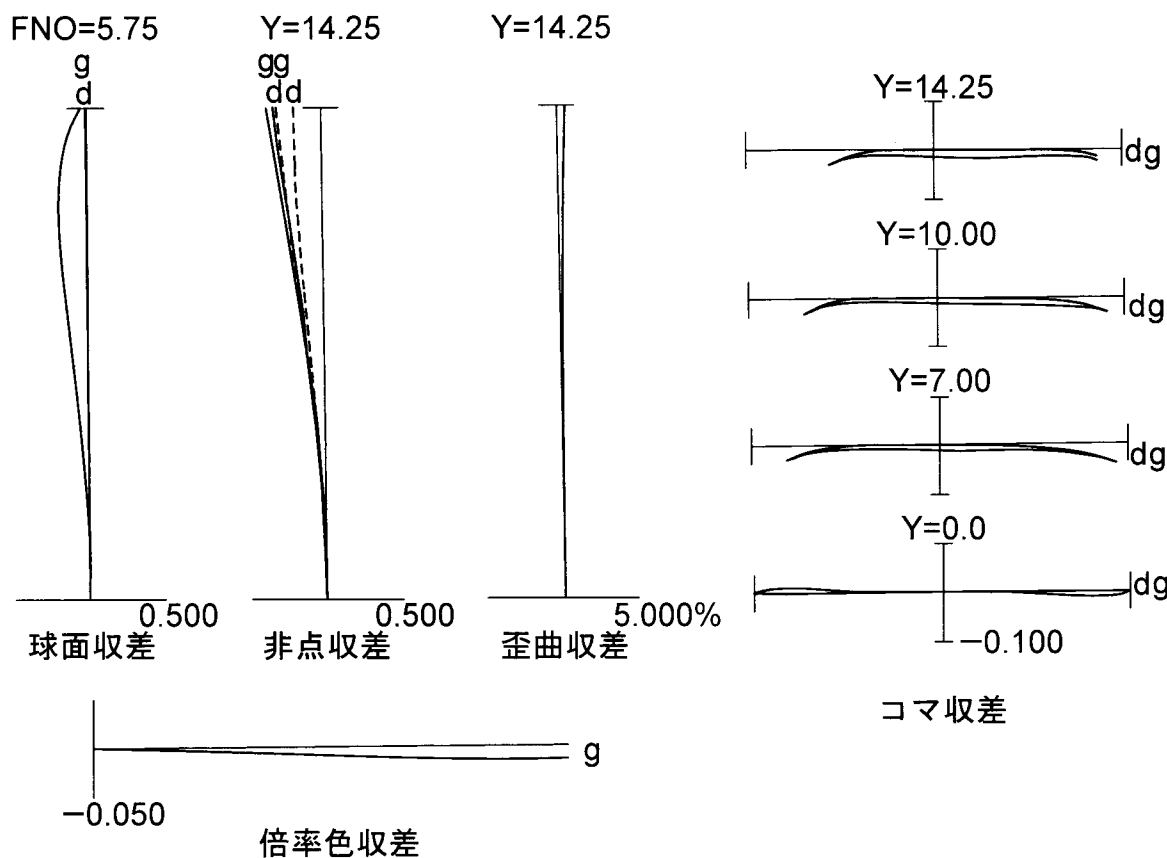
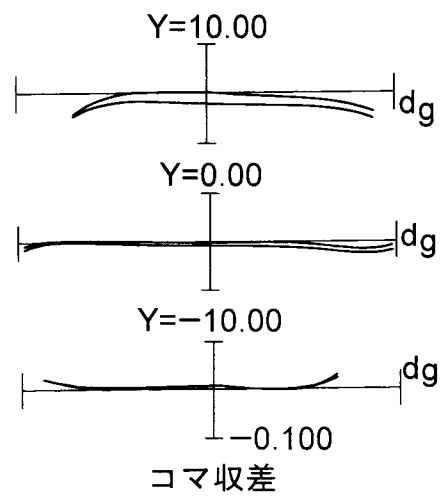
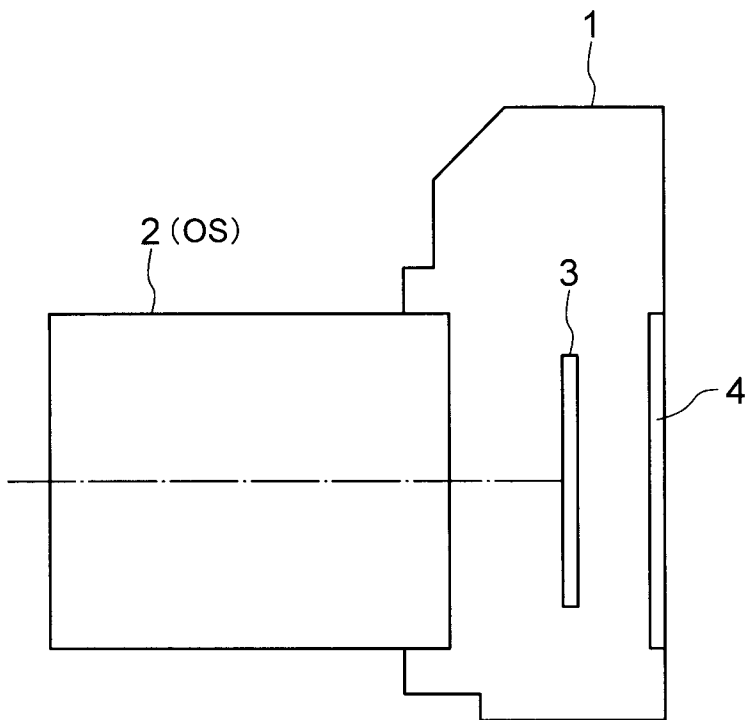


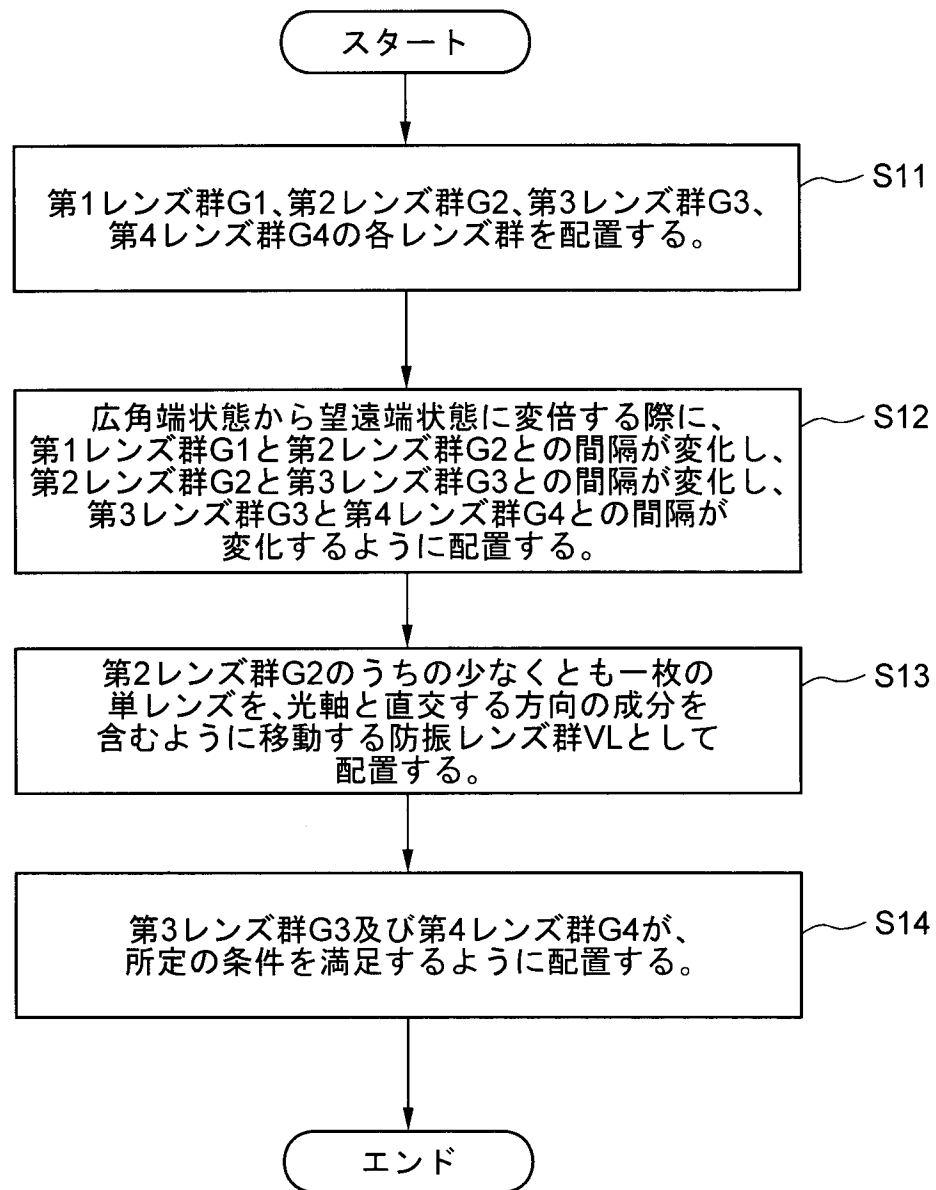
図16B



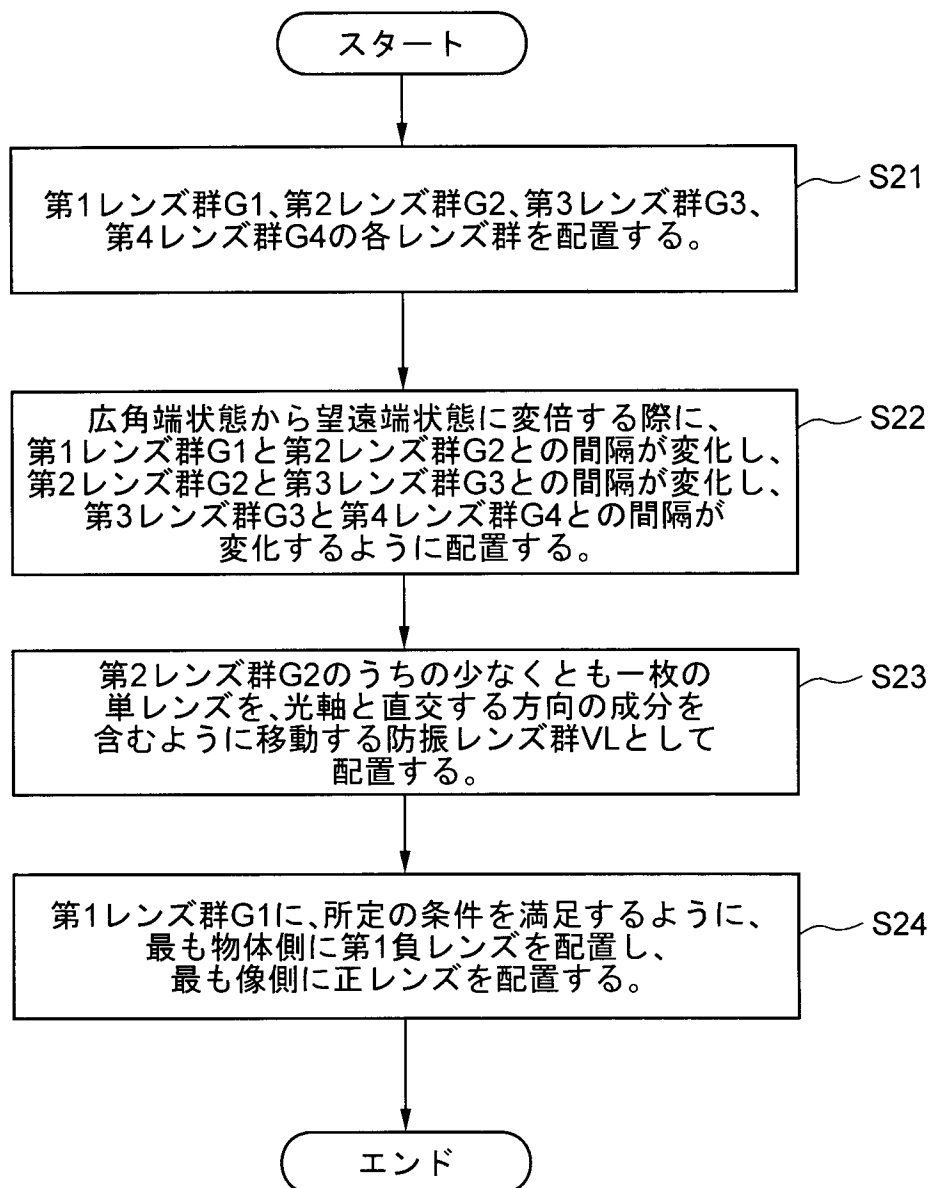
[図17]



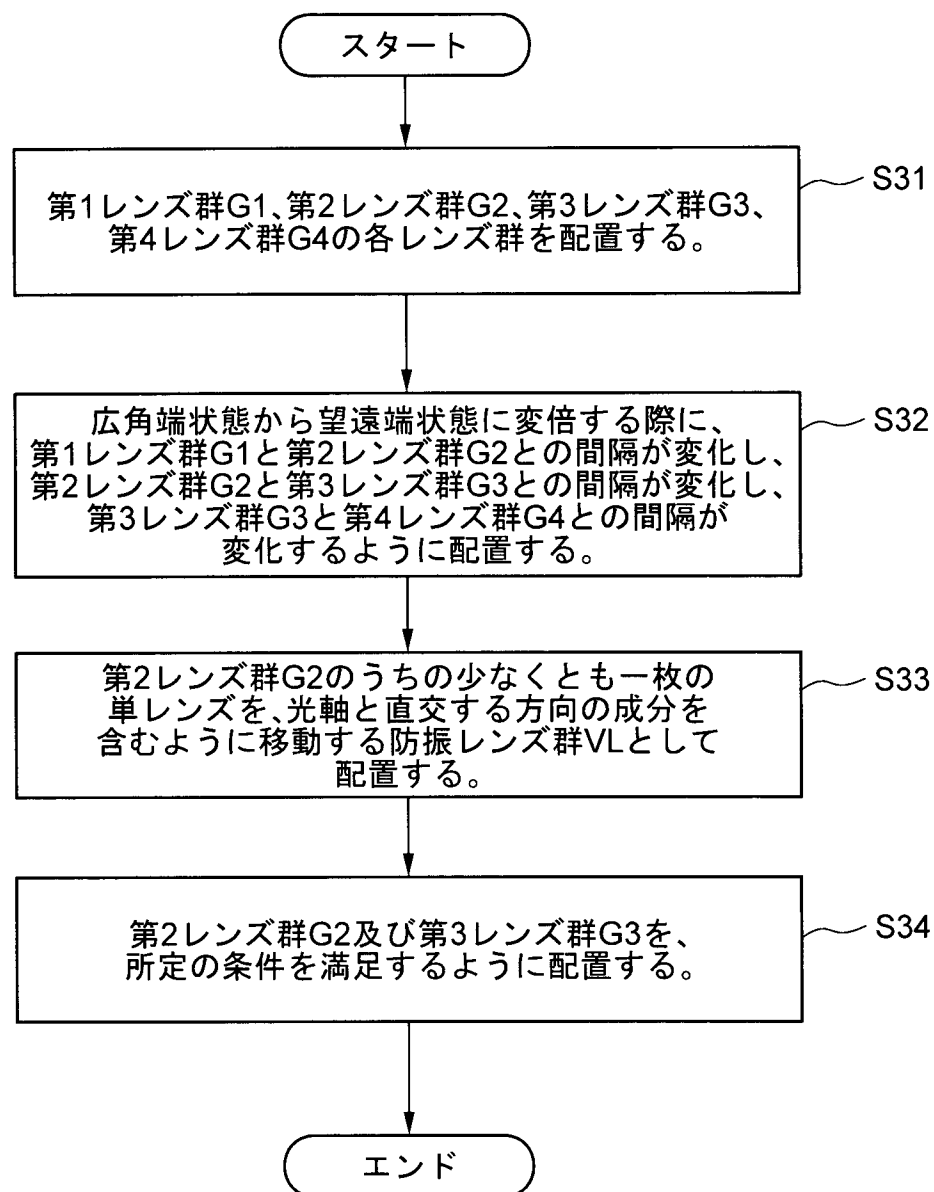
[図18]



[図19]



[図20]



INTERNATIONAL SEARCH REPORT

International application No.

PCT/JP2013/073020

A. CLASSIFICATION OF SUBJECT MATTER
G02B15/20(2006.01)i, G02B13/18(2006.01)i, G03B5/00(2006.01)i

According to International Patent Classification (IPC) or to both national classification and IPC

B. FIELDS SEARCHED

Minimum documentation searched (classification system followed by classification symbols)

G02B15/20, G02B13/18, G03B5/00

Documentation searched other than minimum documentation to the extent that such documents are included in the fields searched

Jitsuyo Shinan Koho	1922-1996	Jitsuyo Shinan Toroku Koho	1996-2013
Kokai Jitsuyo Shinan Koho	1971-2013	Toroku Jitsuyo Shinan Koho	1994-2013

Electronic data base consulted during the international search (name of data base and, where practicable, search terms used)

C. DOCUMENTS CONSIDERED TO BE RELEVANT

Category*	Citation of document, with indication, where appropriate, of the relevant passages	Relevant to claim No.
X	JP 2012-133230 A (Panasonic Corp.), 12 July 2012 (12.07.2012), numerical examples 1 to 4 & US 2012/0162779 A1	1-7, 9, 12-15, 17-18, 20-24, 26-27
X	JP 2012-133228 A (Panasonic Corp.), 12 July 2012 (12.07.2012), numerical examples 1 to 4 & US 2012/0162777 A1	1-7, 9, 12-15, 17-18, 20-24, 26-27
X	JP 2012-133229 A (Panasonic Corp.), 12 July 2012 (12.07.2012), numerical examples 1 to 5 & US 2012/0162778 A1	1-9, 12-15, 17-27

 Further documents are listed in the continuation of Box C.

 See patent family annex.

* Special categories of cited documents:

- "A" document defining the general state of the art which is not considered to be of particular relevance
- "E" earlier application or patent but published on or after the international filing date
- "L" document which may throw doubts on priority claim(s) or which is cited to establish the publication date of another citation or other special reason (as specified)
- "O" document referring to an oral disclosure, use, exhibition or other means
- "P" document published prior to the international filing date but later than the priority date claimed

"T" later document published after the international filing date or priority date and not in conflict with the application but cited to understand the principle or theory underlying the invention

"X" document of particular relevance; the claimed invention cannot be considered novel or cannot be considered to involve an inventive step when the document is taken alone

"Y" document of particular relevance; the claimed invention cannot be considered to involve an inventive step when the document is combined with one or more other such documents, such combination being obvious to a person skilled in the art

"&" document member of the same patent family

Date of the actual completion of the international search 24 October, 2013 (24.10.13)	Date of mailing of the international search report 19 November, 2013 (19.11.13)
Name and mailing address of the ISA/ Japanese Patent Office	Authorized officer

Facsimile No.

Telephone No.

INTERNATIONAL SEARCH REPORT

International application No.

PCT/JP2013/073020

C (Continuation). DOCUMENTS CONSIDERED TO BE RELEVANT

Category*	Citation of document, with indication, where appropriate, of the relevant passages	Relevant to claim No.
X	JP 2012-141600 A (Nikon Corp.), 26 July 2012 (26.07.2012), 3rd example & WO 2012/081603 A1	1-2, 4-9, 11-13, 18, 22, 24-25, 27
X	JP 2009-048012 A (Nikon Corp.), 05 March 2009 (05.03.2009), 5th to 9th examples & US 2009/0052051 A1 & EP 2028515 A2 & CN 101373262 A	1-5, 7-14, 16-17, 21-23, 25-26
X	JP 2010-152147 A (Panasonic Corp.), 08 July 2010 (08.07.2010), numerical examples 1 to 4 (Family: none)	1-2, 4-9, 12-13, 18-22, 24-25, 27
X	JP 2009-169051 A (Canon Inc.), 30 July 2009 (30.07.2009), numerical example 3 & US 2009/0180199 A1 & CN 101487925 A	1-2, 4-9, 11-13, 18-22, 24-25, 27
X	JP 2007-256695 A (Nikon Corp.), 04 October 2007 (04.10.2007), 1st to 5th examples & US 2007/0223105 A1 & CN 101042465 A	1-2, 4-13, 18-22, 24-25, 27
X	JP 2008-046612 A (Nikon Corp.), 28 February 2008 (28.02.2008), numerical examples 1 to 4 & US 2009/0231708 A1 & EP 2045639 A1 & WO 2008/010563 A1	1-7, 9-15, 17-18, 20-24, 26-27

A. 発明の属する分野の分類（国際特許分類（IPC））

Int.Cl. G02B15/20(2006.01)i, G02B13/18(2006.01)i, G03B5/00(2006.01)i

B. 調査を行った分野

調査を行った最小限資料（国際特許分類（IPC））

Int.Cl. G02B15/20, G02B13/18, G03B5/00

最小限資料以外の資料で調査を行った分野に含まれるもの

日本国実用新案公報	1922-1996年
日本国公開実用新案公報	1971-2013年
日本国実用新案登録公報	1996-2013年
日本国登録実用新案公報	1994-2013年

国際調査で使用した電子データベース（データベースの名称、調査に使用した用語）

C. 関連すると認められる文献

引用文献の カテゴリー*	引用文献名 及び一部の箇所が関連するときは、その関連する箇所の表示	関連する 請求項の番号
X	JP 2012-133230 A (パナソニック株式会社) 2012.07.12, 数値実施例1-4 & US 2012/0162779 A1	1-7, 9, 12-15, 17-18, 20-24, 26-27
X	JP 2012-133228 A (パナソニック株式会社) 2012.07.12, 数値実施例1-4 & US 2012/0162777 A1	1-7, 9, 12-15, 17-18, 20-24, 26-27

 C欄の続きにも文献が列挙されている。 パテントファミリーに関する別紙を参照。

* 引用文献のカテゴリー

- 「A」特に関連のある文献ではなく、一般的技術水準を示すもの
- 「E」国際出願日前の出願または特許であるが、国際出願日以後に公表されたもの
- 「L」優先権主張に疑義を提起する文献又は他の文献の発行日若しくは他の特別な理由を確立するために引用する文献（理由を付す）
- 「O」口頭による開示、使用、展示等に言及する文献
- 「P」国際出願日前で、かつ優先権の主張の基礎となる出願

の日の後に公表された文献

- 「T」国際出願日又は優先日後に公表された文献であって出願と矛盾するものではなく、発明の原理又は理論の理解のために引用するもの
- 「X」特に関連のある文献であって、当該文献のみで発明の新規性又は進歩性がないと考えられるもの
- 「Y」特に関連のある文献であって、当該文献と他の1以上の文献との、当業者にとって自明である組合せによって進歩性がないと考えられるもの
- 「&」同一パテントファミリー文献

国際調査を完了した日

24. 10. 2013

国際調査報告の発送日

19. 11. 2013

国際調査機関の名称及びあて先

日本国特許庁 (ISA/JP)

郵便番号100-8915

東京都千代田区霞が関三丁目4番3号

特許庁審査官（権限のある職員）

殿岡 雅仁

2V 4748

電話番号 03-3581-1101 内線 3271

C (続き) . 関連すると認められる文献		
引用文献の カテゴリー*	引用文献名 及び一部の箇所が関連するときは、その関連する箇所の表示	関連する 請求項の番号
X	JP 2012-133229 A (パナソニック株式会社) 2012. 07. 12, 数値実施例 1 – 5 & US 2012/0162778 A1	1-9, 12-15, 17-27
X	JP 2012-141600 A (株式会社ニコン) 2012. 07. 26, 第3実施例 & WO 2012/081603 A1	1-2, 4-9, 11-13, 18, 22, 24-25, 27
X	JP 2009-048012 A (株式会社ニコン) 2009. 03. 05, 第5 – 9実施例 & US 2009/0052051 A1 & EP 2028515 A2 & CN 101373262 A	1-5, 7-14, 16-17, 21-23, 25-26
X	JP 2010-152147 A (パナソニック株式会社) 2010. 07. 08, 数値実施例 1 – 4 (ファミリーなし)	1-2, 4-9, 12-13, 18-22, 24-25, 27
X	JP 2009-169051 A (キヤノン株式会社) 2009. 07. 30, 数値実施例 3 & US 2009/0180199 A1 & CN 101487925 A	1-2, 4-9, 11-13, 18-22, 24-25, 27
X	JP 2007-256695 A (株式会社ニコン) 2007. 10. 04, 第1 – 5実施例 & US 2007/0223105 A1 & CN 101042465 A	1-2, 4-13, 18-22, 24-25, 27
X	JP 2008-046612 A (株式会社ニコン) 2008. 02. 28, 数値実施例 1 – 4 & US 2009/0231708 A1 & EP 2045639 A1 & WO 2008/010563 A1	1-7, 9-15, 17-18, 20-24, 26-27